

PROCESSIDENTIFIERING MED DATAMASKIN

Examensarbete i regleringsteknik

Erik Andersson

INNEHÅLL

- I Inledning och syfte
 - II Problemställning och lösning
 - III Beräkningsalgoritmen
 - III.1 Allmänt
 - III.2 Beteckningar
 - III.3 Tillståndsvariabler
 - III.4 Procedur PRIDE för hela beräkningsalgoritmen
 - III.5 Detaljgenomgång av PRIDE
 - III.6 Procedur LABAN för grundläggande beräkningar
 - III.7 Detaljgenomgång av LABAN
 - III.8 Procedur invers för matrisinversion
 - III.9 Identifiering av snabba system
 - III.10 ALGOL - programmet
 - IV Testkörningar
 - V Körda exempel
- Appendix

Processidentifiering med datamaskin

Rättelse i procedur Laban (sid.18)

Erik Andersson

Ordningsföljden på beräkningarna av $\frac{\partial e(t)}{\partial \theta_i}$ och $\frac{\partial^2 e(t)}{\partial \theta_i \partial \theta_j}$ (EC och ECC) medför att fel uppstår i ECC och därmed i exakta andraderivatmatrisen vid identifiering av l:a ordningens system .

Rad 30 - 38 (sid 18) skall omordnas till följande:

```
" 30      q:= 2xn+1
          if t=1 then
          begin for i:= 2xm step -1 until 2 do ECC[i]:= ECC[i-1];
                  ECC[1]:=eac-EC[1];
                  ECC[q]:=ebc-EC[n+1];
                  ECC[2xn+q]:=ecc-2xEC[q];
          end;
          for i:=m step -1 until 2 do EC[i]:=EC[i-1];
" 38      EC[1]:=eaty; EC[n+1]:=eb-u; EC[q]:=ec-e;
" 39      comment slut ber, av första och andra deriv. av e;
```

Hela sid 18 återges korrekt på nästa sida. Denna ändring medför i exempel 2 A,6 exakt o 7 exakt att någon decimal kan vara felaktig. Samma gäller för de två första skattningarna i exempel 3, alltså 4 exakt och 5 exakt respektive 6 exakt, 7 exakt och 8 exakt.(sid.36)
I övrigt ingen ändring.

```

procedure LABAN(n,N,t); value n,N,t; integer n,N,t;
begin integer i,j,k,m,K; m:=3×n; K:=N-n+1;
begin integer p,q,r,s,v;
u:=y:=e:=V:=0;
for i:=1 step 1 until 8 do E[i]:=0;
for i:=1 step 1 until 48 do ECC[i]:=VCC[i]:=0;
for i:=1 step 1 until 24 do
begin EC[i]:=V1[i]:=0;
for j:=1 step 1 until 24 do V2[i,j]:=0
end;
comment start loop k;
for k:=1 step 1 until N do
begin real ea,eb,ec,eac,ebc,ecc;
comment procedure Vap för beräkning av app. 2:a deriv. ;
procedure Vap(a,b,c,d,f,g);
integer a,b,c,d,f,g;
V2[a,b]:=V2[c,d]+EC[f]×EC[g];
ea:=eb:=ec:=eac:=ebc:=ecc:=0;
for i:=1 step 1 until n do
begin p:=2×n+i;
ea:=ea-C[p]×EC[i];
eb:=eb-C[p]×EC[n+i];
ec:=ec-C[p]×EC[p];
if t=1 then
begin eac:=eac-C[p]×ECC[i];
ebc:=ebc-C[p]×ECC[p];
ecc:=ecc-C[p]×ECC[2×n+p]
end
end;
q:=2×n+1;
if t=1 then
begin for i:=2×m step -1 until 2 do ECC[i]:=ECC[i-1];
ECC[1]:=eac-EC[1];
ECC[q]:=ebc-EC[n+1];
ECC[2×n+q]:=ecc-2×EC[q]
end;
for i:=m step -1 until 2 do EC[i]:=EC[i-1];
EC[1]:=eay; EC[n+1]:=eb-u; EC[q]:=ec-e;
comment slut ber. av första och andra deriv. av e;
e:=-C[q]×E[1]+E[2]+C[1]×y-C[n+1]×u;
for i:=2 step 1 until n-1 do
E[i]:=-C[2×n+i]×E[1]+E[i+1]+C[i]×y-C[n+i]×u;
E[n]:=-C[m]×E[1]+C[n]×y-C[2×n]×u;
u:=ECS(2×k-1); y:=ECS(2×k);
e:=e+y; E[1]:=e;
comment slut ber. av felet;
V:=V+e×e; *
for i:=1 step 1 until n do
begin p:=n+i; q:=2×n+i;
V1[i]:=V1[i]+e×EC[i];
V1[p]:=V1[p]+e×EC[p];
V1[q]:=V1[q]+e×EC[q]
end grad av V;

```

I

INLEDNING OCH SYFTE

För utarbetande av kontrollstrategier för en industriell process måste systemekvationen vara känd. I detta examensarbete utvecklas ett datamaskinprogram i ALGOL, som identifierar en allmän linjär process med en ingång och en utgång. Ur en serie mätningar av in- och utdata med lämpligt samplingsintervall beräknar programmet dels systemparametrarna och dels spridning i matrial och parametrar. Systemparametrarna skattas statistiskt med hjälp av maximum-likelihood-metoden (ML-metoden). En Newton-Raphson-algoritm utnyttjas för lösning av ML-ekvationen.

Grundläggande teorier finns i ref.(1) och (2). Se även ref.(3). En resumé av teorin har gjorts i avd. II. Beträffande skattningens statistiska egenskaper se ref.(1) sekt.(4).

II

PROBLEMSTÄLLNING OCH LÖSNING

Här görs endast en kortfattad genomgång av teorin i ref.(1) och (2).

Antag systemekvationen är:

$$A(z^{-1}) \cdot y(t) = B(z^{-1}) \cdot u(t) + C(z^{-1}) \cdot e(t) \quad (1)$$

där u är insignal, y utsignal och e är störningar i processen. e antages oberoende $N(0, \lambda)$:

A, B och C är polynom i skiftoperatorn z , def. så att $z \cdot x(t) = x(t+1)$. (Samplingsintervall = 1).

Det förutsättes 1. A och C har sina nollställen inom enhetscirkeln.

2. A, B och C har inga gemensamma faktorer.

I detta arbete sättes:

$$A(z) = 1 + a_1 z + a_2 z^2 + \dots + a_n z^n$$

$$B(z) = b_1 z + b_2 z^2 + \dots + b_n z^n$$

$$C(z) = 1 + c_1 z + c_2 z^2 + \dots + c_n z^n$$

Det är ingen inskränkning av det allmänna fallet att sätta $a_0 = c_0 = 1$. Däremot medför $b_0 = 0$ att mycket snabba system ej kan identifieras korrekt. Detta kan dock kringås. Se III.9.

Huvuduppgift: Skatta koefficienterna i (1).

Vi gör en statistisk skattning av koeff. med hjälp av maximum-likelihood-metoden.

Då $e \in N(0, \lambda)$ är frekvensfunktionen

$$f(e(t)) = \frac{1}{\lambda \sqrt{2\pi}} \exp\left(-\frac{[e(t)-0]^2}{2\lambda^2}\right)$$

och ML-funktionen

$$\text{ML} = \prod_{t=1}^N f(e(t)).$$

Maximering av ML är ekvivalent med maximering av $\ln(\text{ML})$, vilket i sin tur är ekvivalent med minimering av förlustfunktionen, def. som:

$$V = \frac{1}{2} \sum_{t=1}^N e^2(t) \quad (2)$$

Bestäm alltså koeff. a_i , b_i och c_i för V_{\min} .

Därefter får λ ur:

$$\lambda^2 = \frac{2}{N} \cdot V_{\min} \quad (3)$$

(Medelvärdesriktig skattning får man ur $\lambda^2 = \frac{2}{N-3n} V_{\min}$

där n är systemets ordning. $3n$ kan dock oftast försummas i förhållande till N, antalet mätpunkter.)

För lösning användes följande Newton-Raphson-algoritm:

$$\theta^{l+1} = \theta^l - (V_{\theta\theta}(\theta^l))^{-1} \cdot V_{\theta}(\theta^l) \quad (4)$$

där:

$$\theta = (a_1, a_2, \dots, a_n, b_1, \dots, b_n, c_1, \dots, c_n)$$

$$V_{\theta} = \text{grad}(V)$$

$$V_{\theta\theta} = \text{matris med andraderivator av } V.$$

Här söks alltså nollställe till $\text{grad}(V)$.

Derivering av (2) ger:

$$\frac{dV}{d\theta_i} = \sum_{t=1}^N e(t) \frac{de(t)}{d\theta_i} \quad (5)$$

$$\frac{d^2V}{d\theta_i d\theta_j} = \sum_{t=1}^N \frac{de(t)}{d\theta_i} \frac{de(t)}{d\theta_j} + \sum_{t=1}^N e(t) \frac{d^2e(t)}{d\theta_i d\theta_j} \quad (6)$$

Derivering av (1) ger:

$$c(z^{-1}) \frac{de(t)}{da_j} = z^{-j} y(t)$$

$$c(z^{-1}) \frac{de(t)}{db_j} = -z^{-j} u(t) \quad (7)$$

$$c(z^{-1}) \frac{de(t)}{dc_j} = -z^{-j} e(t)$$

Sista formeln i (7) kan deriveras ytterligare:

$$\begin{aligned} c(z^{-1}) \frac{d^2e(t)}{da_i dc_j} &= z^{-i-j+1} \frac{de(t)}{da_1} \\ c(z^{-1}) \frac{d^2e(t)}{db_i dc_j} &= -z^{-i-j+1} \frac{de(t)}{db_1} \\ c(z^{-1}) \frac{d^2e(t)}{dc_i dc_j} &= -2z^{-i-j+1} \frac{de(t)}{dc_1} \end{aligned} \quad (8)$$

Här har utnyttjats att

$$\frac{de(t)}{da_i} = z^{-i+1} \frac{de(t)}{da_1} = \frac{de(t-i+1)}{da_1}. \quad (9)$$

Analogt för b och c.

Därmed är problemet i princip löst.

Startvärde

Den rekursiva formeln (4) kräver ett startvärde, θ^0 .

Bortser man från C-koeff. (antages konstant=0) fås
minsta-kvadratskattning av a- och b-koeff., a^0 och b^0 .
 $\theta^0 = (a^0, b^0, 0)$ tages sedan som startvärde.

Skattningens noggrannhet

Se ref.(2) appendix. Standardavvikelsen för koeff. ges av:

$$\sigma(\theta^{l+1}) = \left\{ \chi^2 v_{\theta\theta}^{-1}(\theta^l) \right\}^{\frac{1}{2}}. \quad (10)$$

III

BERÄKNINGSALGORITMENIII.1 ALLMÄNT

Vid programmering av lösningen direkt efter formlerna blir behovet av minnesutrymme mycket stort p.g.a. att det erfordras flera fält, som växer med antalet mätpunkter. Se ref.(3) där 9 fält är beroende av N . Då det i praktiken är frågan om långa mätserier, är detta en nackdel. (SMIL har ca 3300 tillgängliga celler i kärnminnet.) Minnesutrymmet kan göras oberoende av antalet mätningar om man inför tillståndsvariabler (III.3) samt använder ytterligare enheter för mätdata.

Programmet utformas som en procedur där man direkt i anropet anger systemordning n , antal mätpunkter N , index för minstakvadrat-skattning z , antal skattningar Z , index för exakt eller approximativ andraderivata t och eventuell reducering av det skattade steget alfa. Dessa index value-deklareras, vilket ger möjlighet att anropa med read. Beräkningar enligt formlerna 2, 5, 6, 7, 8 har förts samman i procedur LABAN. Formel (4) kräver en rutin för matrisinversion. Här används en procedur, som kräver lite extrautrymme. I B-polynomet är $b_0=0$. På grund härav måste vissa åtgärder vidtagas vid identifiering av snabba system. Se III.9 och ex.5.

Programmet skrives i SMIL-ALGOL (för siffermaskinen i Lund), vilket innebär vissa avvikelser från ALGOL-60. Se ref.(7). Obs. speciellt att in- och utdata placeras i och hämtas från ytterligare kärnminne (ECS) med de maskinkodade procedurerna LECS(read,adress) och ECS(adress). Programmet begränsas till maximal systemordning $n=8$ av utrymmesskäl.

III.2

BETECKNINGAR

i_y, i, j, k, l	löpande index
$m, K, ea, eb, ec,$ eac, ebc, ecc	hjälpvariabler
u	indata
y	utdata
e	fel
V	förlustfunktion
$korr$	korrektion till koeff.
lb	hjälpvar. till standardav. för fel och koeff.
α	reducering av korrektionen.
n	systemets ordning
N	antal mätpunkter
z	startvärde för iterationsindex l.
Z	slut- " "
t	index, som anger om exakta 2:a-deriv. eller den approximativa skall användas.

$E(1:n)$ tillståndsvariabel för e

$C(1:3n) = (a_1, a_2, \dots, a_n, b_1, \dots, b_n, c_1, \dots, c_n)$ koeff.

$EC(1:3n) = (e_{a_1}(t), \dots, e_{a_n}(t), e_{b_1}(t), \dots, e_{b_n}(t))$
derivator av e m.a.p. koeff.

$ECC(1:6n) = (e_{a_1}^{''}(t), \dots, e_{a_1}^{''}(c_1(t-2n+1)), e_{b_1}^{''}(c_1(t-2n+1)), \dots, e_{c_1}^{''}(c_1(t-2n+1)))$
2:a-derivator av e m.a.p. koeff.

$VCC(1:6n) = e(t) \cdot ECC(1:6n)$ korrektionsterm till app.
andraderivatan av V.

$$V2(1:6n, 1:6n) = \left\{ \begin{array}{cccccc} v_{a_1 a_1}^{'''} & \dots & v_{a_1 a_n}^{'''} & v_{a_1 b_1}^{'''} & \dots & v_{a_1 b_n}^{'''} & v_{a_1 c_1}^{'''} & \dots & v_{a_1 c_n}^{'''} \\ & \ddots & & & & & & & \\ & & v_{a_n a_n}^{'''} & & v_{a_n b_n}^{'''} & & v_{a_n c_n}^{'''} & & \\ & & & \ddots & & & & & \\ & & & & v_{b_1 b_1}^{'''} & \dots & v_{b_1 b_n}^{'''} & v_{b_1 c_1}^{'''} & \dots & v_{b_1 c_n}^{'''} \\ & & & & & \ddots & & & & \\ & & & & & & v_{b_n b_n}^{'''} & & v_{b_n c_n}^{'''} & \\ & & & & & & & \ddots & & \\ & & & & & & & & v_{c_1 c_1}^{'''} & \dots & v_{c_1 c_n}^{'''} \\ & & & & & & & & & \ddots & \\ & & & & & & & & & & v_{c_n c_n}^{'''} \end{array} \right\}$$

sym.

$V1(1:3n) = (v_{a_1}^{'}, \dots, v_{a_n}^{'}, v_{b_1}^{'}, \dots, v_{b_n}^{'}, v_{c_1}^{'}, \dots, v_{c_n}^{'}) = \text{grad } V$

TILLSTÅNDSVARIABLER

Med hjälp av tillståndsvariabler för felet $e(t)$ undviktes fält, som växer med antalet mätpunkter.

Betrakta ekv.(1).

$$A(z^{-1})y(t) = B(z^{-1})u(t) + C(z^{-1})e(t)$$

Lös $e(t)$ ur denna ekv. och gruppera kronologiskt.

$$\begin{aligned} e(t) &= y(t) + a_1y(t-1) - b_1u(t-1) - c_1e(t-1) + \\ &\quad + a_2y(t-2) - b_2u(t-2) - c_2e(t-2) + \dots \\ &\quad \dots + a_ny(t-n) - b_nu(t-n) - c_ne(t-n) \end{aligned}$$

Sätt $E_1(t)=e(t)$, $E_1(t-1)=e(t-1)$ och

$$E_2(t-1) = a_2y(t-2) - \dots - c_ne(t-n).$$

Då fås:

$$\begin{aligned} E_1(t) &= -c_1E_1(t-1) + E_2(t-1) + a_1y(t-1) - b_1u(t-1) + y(t) \\ E_2(t) &= -c_2E_1(t-1) + E_3(t-1) + a_2y(t-1) - b_2u(t-1) \\ &\vdots \\ E_n(t) &= -c_nE_1(t-1) + \dots + a_ny(t-1) - b_nu(t-1) \end{aligned}$$

$E_2 \dots E_n$ har erhållits på liknande sätt.

Detta kan skrivas i matrisform.

$$\begin{bmatrix} E_1(t) \\ E_2(t) \\ \vdots \\ E_n(t) \end{bmatrix} = \begin{bmatrix} -c_1 & 1 & 0 & \dots & 0 \\ -c_2 & 0 & 1 & \ddots & \vdots \\ \vdots & \vdots & \ddots & \ddots & 1 \\ -c_n & 0 & \dots & \dots & 0 \end{bmatrix} \begin{bmatrix} E_1(t-1) \\ E_2(t-1) \\ \vdots \\ E_n(t-1) \end{bmatrix} + \begin{bmatrix} a_1 \\ a_2 \\ \vdots \\ a_n \end{bmatrix} y(t-1) - \begin{bmatrix} b_1 \\ b_2 \\ \vdots \\ b_n \end{bmatrix} u(t-1) + \begin{bmatrix} 1 \\ 0 \\ \vdots \\ 0 \end{bmatrix} y(t)$$

I algoritmen beräknas lämpligen först den del, som beror av tiden $t-1$. Därefter inläses in- och utdata för tiden t och tillståndsvariablene beräknas färdigt. På detta sätt kan man succesivt bygga upp summorna i (2), (5) och (6) varvid man endast behöver lagra n st tillståndsvariabler, $3n$ st 1:a derivator och $6n$ st 2:a derivator.

Tillståndsvariablene kan väljas på andra sätt. Se ref.(2).

III.4

Procedur PRIDE för hela beräkningsalgoritmen

I PRIDE utföres hela processidentifieringen.

Beteckningen är PRIDE(n, N, z, Z, t, α) och ett anrop ger i huvudsak ett antal iterationer med formel (4).

Iterationerna betecknas med löpande l-värden. Vidare:

n = systemets ordning

N = antal mätpunkter

z = index för minsta-kvadrat-skattning

$z=1$ ger startvärde, $z=2$ MK-skattning för godtyckliga c -koeff.

Z = antal skattningar

t = index, 0 ger app.- och 1 exakta andraderivator

α = reduceringsfaktor för koeff.-korrektion

Startvärde erhålls för $z=1$ i anropet.

Efter anrop av LABAN nollställs då alla derivator där

c -koeff. ingår ($V_{c_i}^{'}, V_{a_i c_j}^{'}, V_{b_i c_j}^{'}, V_{c_i c_j}^{''}$), ty c_i antages konstant = 0. Se fig.

$$\begin{bmatrix} V_2 \\ \vdots \\ \vdots \\ \hline \vdots & \vdots & \vdots & \vdots \\ \hline \end{bmatrix} \begin{bmatrix} \text{korr.} \\ \text{till} \\ \text{koeff} \end{bmatrix} = \begin{bmatrix} V_1 \\ \vdots \\ \vdots \\ \hline \vdots & \vdots & \vdots & \vdots \\ \hline \end{bmatrix}$$

Därvid förblir c -koeff. noll och skattningen av a - och b -koeff. blir en MK-skattning. Samma sak erhålls då $z=2$ och c -koeff. ändras ej.

Önskas andra startvärden måste dessa läsas in före anrop av PRIDE, och i anropet måste $z=0$.

Värdet på t går direkt över i anropet på LABAN.

III.5

Detaljegenomgång av PRIDE

Önskas MK-skattning ($z=1$ och 2) nollställes behövliga koeff.

Loop 1 börjar och genomlöpes Z gånger.

LABAN anropas. Därvid beräknas dubbla förlustfunktionen ($2V$), gradienten av V ($V1$) samt andraderivatmatrisen ($V2$) exakt eller approximativt beroende på t i anropet. Se III.6,7.

Om $z \neq 0$ så nollställes derivator där c -koeff. ingår (se föregående avsnitt). Härvid blir $V2$ automatiskt singulär.

Detta undviks genom att placera ettor i diagonalen i delmatrisen för cc -derivator.

Förlustfunktionen och standardavvikelsen λ (enligt formel 3) för matrialet tryckes.

Gradienten av V tryckes.

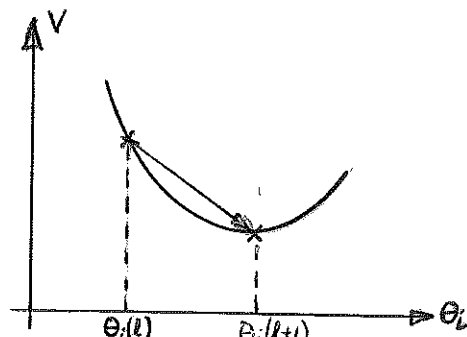
$V2$ tryckes.

$V2$ inverteras. Är därvid $V2$ singulär utföres hopp till läge UT i huvudprogrammet. Se III.8.

$V2^{-1}$ tryckes. Denna finns på den ursprungliga matrisens plats.

Korrektionerna till koeff. ($V2^{-1} \cdot V1$) beräknas. Koeff. kan normalt ändras med dessa korrektioner. För varje koeff. har en andragradskurva för V bestämts och algoritmen går till dess extremvärde.

I svåra fall där den verkliga formen på $V(\theta)$ avviker avsevärt från andragradsformen (spec. om minimipunkten ligger nära konvergensranden, se körda ex.) erfordras en reduceringsfaktor; här kallad alfa. Denna ingår i proceduranropet



och är alltså åtkomlig utifrån.

Koeff. korrigeras; med eller utan reducering.

Alfa och koeff. tryckes.

Efter varje iteration bestämmes ∇_i ur formel (10)

och tryckes.

Loop 1 och PRIDE är därmed slut.

Då index i proceduren är value-deklarerade, kan dessa
anropas med 'read'. På detta sätt kan man under beräkningarnas
gång välja lämpligt alfa och exakt eller app. andraderivata.

III.6

Procedur LABAN för grundläggande beräkningar

Beräkningarna av förlustfunktionen (V), grad V (V_1) och 2:a-derivatorna av V (V_2) har sammanförts i proceduren $LABAN(n, N, t)$.

Vid de första iterationerna kan med fördel en approximativ andraderivata användas.

$$V_2(i,j) = \frac{d^2 V}{d\theta_i d\theta_j} \text{ app} = \sum_{t=1}^N \frac{de(t)}{d\theta_i} \frac{de(t)}{d\theta_j}$$

$$\text{Tilläggselementet: } + \sum_{t=1}^N e(t) \frac{d^2 e(t)}{d\theta_i d\theta_j}$$

beräknas endast då index t i proceduranropet är lika med ett. Detta adderas i efterhand till V_2 . Observera att tilläggselementet är skilt från noll endast då derivata m.a.p. c -koeff. ingår. Se formel (7) och (8).

P.g.a. approximativa andraderivatornas inbördes samband kan räknearbetet skärpas ned betydligt. Se nästa avsnitt.

Av formel (9) framgår att endast derivator av e m.a.p. a_1, b_1 och c_1 behöver beräknas. För formlerna (5) och (6) måste man då spara $3n$ förstaderivator och $6n$ andra-derivator.

Beräkningsgången blir: Beträkta tiden t . Beräkna först de storheter, som beror av storheter vid tiden $t-1$.

Läs sedan in in- och utsignaler för tiden t och beräkna övriga storheter. Gå till tiden $t+1$.

III.7

Detaljgenomgång av LABAN

K och m är hjälpvariabler; K användes vid uppbyggnad av V2.

Först nollställs behövliga element. Därefter startar loop k, som genomlöpes för varje datapar i mätserien. ea, eb, ec, eac, ebc, och ecc är hjälpvariabler vid beräkning av $\frac{de}{d\theta_i}$ och $\frac{d^2e}{d\theta_i d\theta_j}$. Proceduren Vap multiplicerar derivator av e och summerar dem till V2.

Hjälpvariablerna nollställs. ea, eb och ec summeras upp enligt formel (7), vänstra ledet. eac, ebc och ecc summeras upp enligt formel (8), vänstra ledet. Vektorerna EC och ECC för e' och e'' förskjuts ett samplingsintervall. Jfr. formel (9).

Därefter beräknas e'_a_1 , e'_b_1 , e'_c_1 , $e''_{a_1 c_1}$, $e''_{b_1 c_1}$ och $e''_{c_1 c_1}$ färdigt enligt formlerna (7) och (8).

Av tillståndsvariablerna för felet (se III.3) beräknas först den del, som beror av tiden t-1. $E_1(t-1)$ sparar, då denna storhet ingår i övriga variabler. In- och ut-data för tiden t läses in, och $E_1(t) = e(t)$ beräknas färdigt. Inläsning av data göres i detta program med hjälp av SMIL-s maskinprocedur ECS (adress i yttrre kärnminne). Dubbla förlustfunktionen utökas med kvadraten på felet enligt formel (2). Gradienten av förlustfunktionen (V1) beräknas enligt formel (5).

Approximativa andraderivatorna beräknas med hjälp av

proceduren Vap. Här är att märka:

$$\frac{d^2v}{da_i db_j} = \sum_{t=1}^N \frac{de(t)}{da_i} \frac{de(t)}{db_j} = \sum_{t=1}^N \frac{de(t-i+1)}{da_1} \frac{de(t-j+1)}{db_1}$$

$$\text{om } j \leq i \text{ sätt } t' = t - j + 1 \text{ så } \frac{d^2v}{da_i db_j} = \sum_{t'=1}^{N-j+1} \frac{de(t'+j-i)}{da_1} \frac{de(t')}{db_1}$$

$$\text{om } i < j \text{ sätt } t' = t - i + 1 \text{ så } \frac{d^2v}{da_i db_j} = \sum_{t'=1}^{N-i+1} \frac{de(t')}{da_1} \frac{de(t'+i-j)}{db_1}$$

Analogt fås:

$$\frac{d^2v}{da_{i-1} db_{j-1}} = \sum_{t'=1}^{N-j+2} \frac{de(t'+j-i)}{da_1} \frac{de(t')}{db_1} \quad j \leq i$$

$$\frac{d^2v}{da_{i-1} db_{j-1}} = \sum_{t'=1}^{N-i+2} \frac{de(t')}{da_1} \frac{de(t'+i-j)}{db_1} \quad i < j$$

Härur följer att element $\frac{d^2v}{da_{i-1} db_{j-i}}$ fås ur element

$\frac{d^2v}{da_i db_j}$ med ytterligare en summering. Skilda formler

måste betraktas beroende på om i eller j är störst; ty annars fås derivator av e , som ej är kända vid tiden t .

Analoga formler fås för övriga delmatriser i $V2$. Det

räcker sålunda att beräkna vissa delvektorer i $V2$ så

länge $k \leq N-n+1 = K$. Slutelementet i delvektorerna får

ej summeras dubbelt.

Då $k > K$ byggs hela $V2$ upp succesivt enligt formlerna

ovan. Se under else. Här måste dubbelsummering i dia-

gonalen undvikas.

Korrektionen till andraderivatorna beräknas och placeras

i separat vektor (VCC), då $t=1$ i proceduranropet.

Korrektionen är skild från noll endast då derivata

m.a.p. c -koefff ingår (se tidigare).

Betrakta element i delmatris för a- och c-koeff.

$$\frac{d^2 v}{da_i dc_j \text{ korr}} = \sum_{t=1}^N e(t) \frac{d^2 e(t)}{da_i dc_j} = \sum_{t=1}^N e(t) \frac{d^2 e(t-i-j+2)}{da_1 dc_1}$$

Element med summan av index lika får alltså samma korrektion. Analogt i övriga delmatriser. Korrektionen kan därför hållas i vektorform i stället för matrisform.

Av formeln framgår också att man måste spara $2n$ andradervator av e för var och en av tre delmatriser.

Jfr. V2app. där skillnaden av index ingår.

Efter eventuell beräkning av korrektionerna är loop k slut. Slutligen (om $t=1$ i anrop) adderas korrektionerna till $V2$, som därvid innehåller de exakta andraderivatorna.

Därvid gäller: $VCC(1) \rightarrow v''_{a_i c_j} (i+j=2)$

$VCC(2) \rightarrow v''_{a_i c_j} (i+j=3)$

.....

$VCC(2n-1) \rightarrow v''_{a_i c_j} (i+j=2n)$

$VCC(2n)$ anv. ej

$VCC(2n+1) \rightarrow v''_{b_i c_j} (i+j=2)$

O.s.v.

$V2$ speglas så den blir kvadratisk.

Slut LABAN.

Procedur invers för matrisinversion.

Formel (4) kräver en rutin för matrisinversion till V2.

I arbetets tidiga skede har använts en procedur, som hämtats från ref.(3), Det Gauss. Denna procedur kräver dock för stort minnesutrymme då systemordningen är hög. För systemprdnning $n=10$ (matrisordning=30) kräves ca $2 \cdot 3n \cdot 3n = 1800$ celler. (SMIL har ca 3300 celler tillgängliga i kärnminnet.) Denna procedur har därför bytts mot proceduren invers, som är en kombination av två procedurer (matrixinvert och matrixperm) hämtade ur ACM-64, band 7. En sammanslagning var nödvändig då de allmänna anropen mellan procedurerna ej är tillåtna i SMIL-ALGOL. Se ref.(7). Invers inverterar matrisen direkt i matrisfältet och antalet minnesceller blir ca $3n \cdot 3n = 900$ för $n=10$; alltså ungefär samma som matrisen själv.

Vid anropet invers(a,n,eps,singular) inverteras matrisen a av ordning n med Gauss-Jordans metod och resultatet finns i fältet a. Den ursprungliga matrisen blir sålunda förstörd. Vid varje steg användes det absolut största elementet som pivotelement. Index för succesiva pivotelement placeras i vektorerna r och c, vilka sedan användes vid återpermuttering. Om något pivotelement är mindre än eps, går proceduren till läge singular i huvudprogrammet.

Vid körsättning på SMIL måste fältgränser fixeras. Se ref.(7). Här har valts maximal matrisordning 30·30, som motsvarar systemordning 10. Vid högre ordning måste dessa fältgränser ändras.

III.9

Identifiering av snabba system

Då b_0 i B-polynomet satts lika med noll, har insignalen vid en viss tidpunkt ingen inverkan på utsignalen vid samma tidpunkt. Mycket snabba system kan då ej identifieras korrekt. En förbättrad lösning kan eventuellt erhållas genom att minska samplingsintervallet.

Hur skall man få en skattning av b_0 med detta program?

Betrakta formel (1):

$$A(z^{-1})y(t) = B(z^{-1})u(t) + C(z^{-1})e(t)$$

Denna omformas till:

$$A(z^{-1})y(t) = [z \cdot B(z^{-1})] [z^{-1}u(t)] + C(z^{-1})e(t)$$

Förskjut alltså indata ett samplingsintervall bakåt i tiden (första insignalen och sista utsignalen får då kasseras). Beräkna som vanligt. Det skattade polynomet $B'(z^{-1}) = z \cdot B(z^{-1})$ blir då:

$$B'(z^{-1}) = b_1 + b_2 z^{-1} + b_3 z^{-2} + \dots + b_n z^{-(n-1)}$$

b_1 är i detta fall en skattning av b'_0

b_2 " b'_1

.....

b_n " b'_{n-1}

Ingen skattning av b'_n erhålls. Vid så snabba system, som det här är frågan om, torde dock denna koeff. vara signifikant noll.

ALGOL-programmet

```

begin integer iy,x; real e,V,u,y,korr,lb;
  array E[1:8],C,EC,V1[1:24],VCC,ECC[1:48],V2[1:24,1:24];
procedure PRIDE(n,N,z,Z,t,alfa); value n,N,z,Z,t,alfa;
integer n,N,z,Z,t; real alfa;
begin integer i,j,k,l,m; m:=3<n;
  if z=1 then for i:=1 step 1 until m do C[i]:=0;
  if z=2 then for i:=1 step 1 until 2<n do C[i]:=0;
comment start loop 1;
for l:=1 step 1 until Z do
begin IAPAN(n,N,t);
  if z=1>z=2 then
    begin for i:=2<n+1 step 1 until m do
      begin V1[i]:=0;
        for j:=1 step 1 until m do
          V2[j,i]:=V2[i,j]:=0;
      end;
      for i:=2<n+1 step 1 until m do V2[i,i]:=1
    end;
    punch(1); print(6,5,V/2); punch(1);
    lb:=V/N; print(sort(lb)); punch(1);
    for i:=1 step 1 until m do print(5,3,V1[i]); punch(1);
    for i:=1 step 1 until m do
      begin punch(1);
        for j:=1 step 1 until m do print(6,2,V2[i,j]);
      end;
    invers(V2,m,10^-8,UT);
    for i:=1 step 1 until m do
      begin punch(1);
        for j :=1 step 1 until m do print(2,6,V2[i,j])
      end; punch(1);
    for i:=1 step 1 until m do
      begin korr:=0;
        for j:=1 step 1 until m do
          korr:=korr+V2[i,j]*V1[j];
        C[i]:=C[i]-korr*alfa;
      end korrektion av koeff;
    print(alfa); if t=1 then punch(5); punch(1);
    for i:=1 step 1 until m do print(3,5,C[i]); punch(1);
    for i:=1 step 1 until m do print(4,4,sqrt(abs(lb*V2[i,i]))));
    punch(1); punch(1);
  end loop 1;
  punch(1); punch(1);
end PRIDE;;

```

```

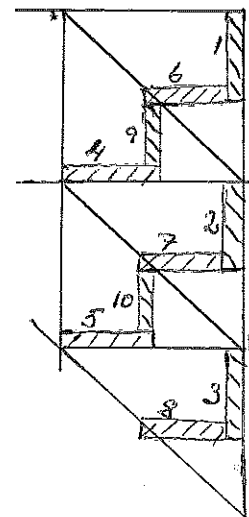
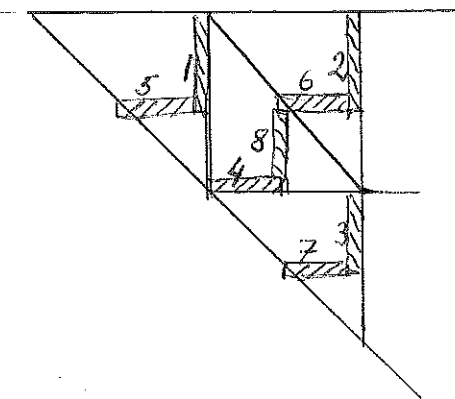
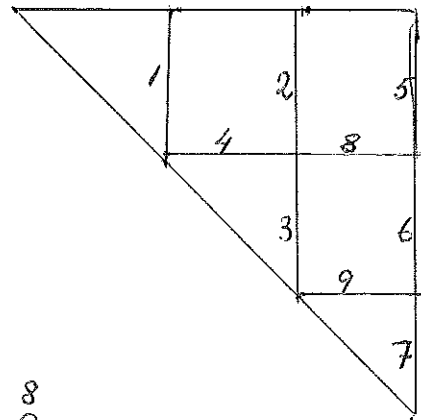
procedure LABAN(n,N,t); value n,N,t; integer n,N,t;
begin integer i,j,k,m,K; m:=3<n; K:=N-n+1;
begin integer p,o,r,s,v;
u:=y:=e:=V:=0;
for i:=1 step 1 until 8 do E[i]:=0;
for i:=1 step 1 until 48 do ECC[i]:=VCC[i]:=0;
for i:=1 step 1 until 24 do
begin EC[i]:=V1[i]:=0;
    for j:=1 step 1 until 24 do V2[i,j]:=0
end;
comment start loop k;
for k:=1 step 1 until N do
begin real ea,eb,ec,eac,ebc,ecc;
    comment procedure Van för beräkning av app. 2:a deriv. ;
    procedure Van(a,b,c,d,f,g);
    integer a,b,c,d,f,g;
    V2[a,b]:=V2[c,d]+EC[f]*EC[g];
    ea:=eb:=ec:=eac:=ebc:=ecc:=0;
    for i:=1 step 1 until n do
begin p:=2<n+i;
    ea:=ea-C[p]*EC[i];
    eb:=eb-C[p]*EC[n+i];
    ec:=ec-C[p]*EC[p];
    if t=1 then
begin eac:=eac-C[p]*ECC[i];
    ebc:=ebc-C[p]*ECC[p];
    ecc:=ecc-C[p]*ECC[2<n+p]
end
end;
    for i:=m step -1 until 2 do EC[i]:=EC[i-1];
    for i:=2<m step -1 until 2 do ECC[i]:=ECC[i-1];
    q:=2<n+1;
    EC[1]:=ea+y; EC[n+1]:=eb-u; EC[q]:=ec-e;
    if t=1 then
begin ECC[1]:=eac-EC[2];
    ECC[n]:=ebc-EC[n+2];
    ECC[2<n+q]:=ecc-2*EC[q+1]
end första och andra deriv. av e;
    e:=-C[q]*E[1]+E[2]+C[1]*y-C[n+1]*u;
    for i:=2 step 1 until n-1 do
    E[i]:=-C[2<n+i]*E[1]+E[i+1]+C[i]*y-C[n+i]*u;
    E[n]:=-C[m]*E[1]+C[n]*y-C[2<n]*u;
    u:=ECS(2<n-1); v:=ECS(2<n);
    e:=e+v; E[1]:=e;
    comment slut ber. av felet;
    V:=V+e*x;
    for i:=1 step 1 until n do
begin p:=n+i; o:=2<n+i;
    V1[i]:=V1[i]+e*EC[i];
    V1[p]:=V1[p]+e*EC[p];
    V1[o]:=V1[o]+e*EC[o]
end grad av V;

```

```

if k<K then
begin comment bygg upp delvektorer i app. V2;
for i:=1 step 1 until n do
begin p:=n+i; q:=2×n; r:=n+1-i;
    Vap(i,n,i,n,1,r);           1.
    Vap(p,q,p,q,n+1,n+r);       2.
    Vap(i,q,i,q,1,n+r);         3.
    if i<n then Vap(n,p,n,p,n+1,r); 4
end;
for i:=1 step 1 until n do
begin p:=2×n+1; q:=2×n+i; r:=m+1-i;
    Vap(i,m,i,m,1,r);           5.
    Vap(n+i,m,n+i,m,n+1,r);     6.
    Vap(q,m,q,m,p,r);           7.
    if i<n then begin Vap(n,q,n,q,p,n+1-i); 8
                    Vap(p-1,q,p-1,q,p,p-i) end 9
end;
end
else
begin comment bygg upp hela app V2;
s:=N-k+1; for i:=1 step 1 until s do
begin p:=n+i; q:=2×n; r:=n+1-i;
    Vap(i,n,i,n,1,r);           1.
    Vap(p,q,p,q,n+1,n+r);       2.
    Vap(i,q,i,q,1,n+r);         3.
    Vap(n,p,n,p,n+1,r);         4
end;
for i:=s step 1 until n-1 do
begin p:=n+s; q:=n+i; r:=i+1-s;
    Vap(s,i,s+1,i+1,1,r);      5.
    Vap(p,q,p+1,q+1,n+1,n+r);   6.
    Vap(s,q,s+1,q+1,1,n+r);     7.
    if i>s then Vap(i,p,i+1,p+1,n+1,r) 8
end;
for i:=1 step 1 until s do
begin p:=2×n; q:=2×n+i; r:=m+1-i;
    Vap(i,m,i,m,1,r);           1.
    Vap(n+i,m,n+i,m,n+1,r);     2.
    Vap(q,m,q,m,p+1,r);         3.
    Vap(n,q,n,q,p+1,n+1-i);     4.
    Vap(p,q,p,q,p+1,r-n)        5.
end;
for i:=s step 1 until n-1 do
begin p:=n+s; q:=2×n+i; r:=q+1-s; v:=2×n+1;
    Vap(s,q,s+1,q+1,1,r);      6.
    Vap(p,q,p+1,q+1,n+1,r);     7.
    Vap(n+p,q,v+s,q+1,v,r);     8.
    if i>s then begin Vap(i,n+p,i+1,v+s,v,1+i-s); 9
                    Vap(n+i,n+p,n+i+1,v+s,v,r-n) end 10
end;
end else och uppbyggnad av app. V2;
if t=1 then for i:=1 step 1 until 2×m do
    VCC[i]:=VCC[i]+ε×ECC[i]
end loop 'k';

```



```
comment komplettera V2 med korrektion;
if t=1 then
for j:=1 step 1 until n do
begin p:=2<n; q:=p+j;
  for i:=1 step 1 until n do
    begin r:=i+j-1;
      V2[i,q]:=V2[i,q]+VCC[r];
      V2[n+i,q]:=V2[n+i,q]+VCC[p+r]
    end;
    for i:=1 step 1 until j do
      begin r:=i+j-1;
        V2[p+i,q]:=V2[p+i,q]+VCC[p+p+r]
      end
  end V2 kompletterad med korr;
  for i:=1 step 1 until m do
    for j:=i+1 step 1 until m do V2[j,i]:=V2[i,j];
end
end LABAN;;
```

```

procedure invers(a,n,eps,singular); value n,eps; array a;
integer n; real eps; label singular;
comment Inverterar matrisen a av ordning n med Gauss-Jordans metod.
Matrisen a blir förstörd då inversen bildas utan extra fält. Vid
varje steg användes det abs. största elementet som pivoelement.
Index för succesiva pivoelement placeras i vektorerna r och c,
vilka sedan användes för återpermuttering. Om något pivoelement
är mindre än eps går proceduren till läge singular i huvudprogrammet;
begin integer i,j,k,l,pivi,pivj,p; real pivot; integer array r,c[1:30];
    for i:=1 step 1 until n do r[i]:=c[i]:=i;
    comment sök startvärde för pivot; pivi:=pivj:=1;
    for i:=1 step 1 until n do for j:=1 step 1 until n do
        if abs(a[i,j])>abs(a[pivi,pivj]) then
            begin pivi:=i; pi:j:=j end;
        comment start lösning;
        for i:=1 step 1 until n do
            begin l:=r[i]; r[i]:=r[pivi]; r[pivi]:=l;
                l:=c[i];c[i]:=c[pivj]; c[pivj]:=l;
                if eps>abs(a[r[i],c[i]]) then go to singular;
                for j:=n step -1 until i+1,i-1 step -1 until 1 do
                    a[r[i],c[j]]:=a[r[i],c[j]]/a[r[i],c[i]];
                    a[r[i],c[i]]:=1/a[r[i],c[i]];
                pivot:=0;
                for k:=1 step 1 until i-1,i+1 step 1 until n do
                    begin for j:=n step -1 until i+1,i-1 step -1 until 1 do
                        begin a[r[k],c[j]]:=a[r[k],c[j]]-a[r[i],c[j]]*a[r[k],c[i]];
                            if k>i^j>i^abs(a[r[k],c[j]])>abs(pivot) then
                                begin pivi:=k; pivj:=j; pivot:=a[r[k],c[j]] end test
                        end j loop;
                        a[r[k],c[i]]:=-a[r[i],c[i]]*a[r[k],c[i]];
                    end k loop;
                end i loop och lösning;
    comment start återpermuation av rader för z=1 och av kolonner för z=2;
    begin integer array tag, loc[1:30]; integer z,i,t; real w;
        for z:=1,2 do
            begin for i:=1 step 1 until n do tag[i]:=loc[i]:=i;
                for i:=1 step 1 until n do
                    begin if z=1 then
                        begin t:=r[i]; j:=loc[t]; k:=c[i] end
                        else begin t:=c[i]; j:=loc[t]; k:=r[i] end;
                        if j*k then
                            begin for p:=1 step 1 until n do
                                begin if z=1 then
                                    begin w:=a[j,p]; a[j,p]:=a[k,p]; a[k,p]:=w end
                                    else begin w:=a[p,j]; a[p,j]:=a[p,k]; a[p,k]:=w end
                                end p loop;
                                tag[j]:=tag[k]; tag[k]:=t;
                                loc[t]:=loc[tag[j]]; loc[tag[j]]:=j
                            end j,k test
                        end i loop
                    end z loop
                end permutation
            end invers;;

```

```
x:=read;
for iy:=1 step 1 until x do IECS(read,iy);
NYTT: PRIDE(read,read,read,read,read,read);
      go to NYTT;
UT: punch(3);
end
```

Kommentar till programmet

```

Skiss:      begin deklarationer
            procedur PRIDE(n,N,z,Z,t,alfa)
            procedur LABAN(n,N,t)
            procedur invers(a,m,eps,singular)
            huvudprogram

            end

```

Huvudprogrammet (sid 22) är av allmän typ. Det kan varieras från körning till körning. Dock måste följande beaktas:

1. Mätdata skall läsas in till ECS (yttre kärnminne) på följande sätt

cell i ECS	1	2	3	4	2N-1	2N
variabel	u_1	y_1	u_2	y_2	u_N	y_N

Detta görs med LECS(variabel,cellnr.).

2. Eventuell inläsning av speciella startvärden kan göras före anrop av PRIDE. Därvid måste z anropas med noll.
3. Läge UT måste finnas före programmets sista end. Dit sker hopp om V2 singulär.
4. Programmets sista end tillfogas sist (programmets första begin finns på remsa 1).

Typexempel

A. Normal skattning

Använd huvudprogrammet sid 22.

Läs in data till ECS.

Läs index: (n,N, 1 , 1 , 0 , 1)

som ger: MK-skatt.,1 loop, app. deriv.

Läs index: (n,N, 0 , 1 , 0 , alfa)

Det sista upprepas (med lämpliga alfa-värden) tills skatningen konvergerar.

Läs index: (n,N, 0 , Z , 1 , 1)

som ger: Z st skattningar med exakta derivator.

Normalt behövs endast 2 - 4 skattningar med exakta andraderivator.

B. MK-skattning för olika c-koeff. (jfr. ex. 3)

```

x:=read;      (2N)
for iy:=1 step 1 until x do LECS(read,iy);
x:=read;      (n)
koeff: for iy:=2*x step 1 until 3*x do C[iy]:=read;
PRIDE(read,read,2,1,0,1);
PRIDE(read,read,0,1,0,1);
go to koeff;
UT: punch(8)
end

```

Första anropet ger MK-skattningen och andra förlustfunktionen i denna punkt.

C. Speciella startvärden.

```

x:=read;
for iy:=1 step 1 until x do LECS(read,iy);
x:=read;      (3n)
koeff: for iy:=1 step 1 until x do
begin C[iy]:=read; print(6,4,C[iy]) end;
PRIDE(read,read,read,read,read,read);
go to koeff;
UT:
end

```

Denna variant har använts i exempel 6 och 7, där man lätt erhållit instabil skattning av c-koeff.

D. Enkel regression

Här måste derivator i PRIDE nollställas. I appendix finns de varianter av proceduren och huvudprogrammet, som använts i exempel 5. Detta är ett typexempel på hur andra specialfall av den allmänna skattningen skall konstrueras.

IV

TESTKÖRNINGAR

Procedur LABAN har testats på 10 st datapar hämtade ur den genererade serien i ex. 2.

$$\begin{array}{cccccccccc} u & 1 & 1 & -1 & -1 & -1 & 1 & 1 & -1 & -1 & 1 \\ y & 2.4 & 1.0 & 4.1 & 3.9 & 1.0 & -2.6 & 4.1 & -1.9 & -1.3 & -2.5 \end{array}$$

$$\text{Startvärde: } \theta^1 = (-1.4, 0.8, 0.8, 0.4, -1.0, 0.1)$$

Handräkning har gjorts direkt med formlerna (ej över tillståndsvariabler). Överensstämmande resultat har därvid erhållits av de kontrollerade variablerna e , e' , e'' , V , V' , V''_{app} , V''_{korr} .

Procedur invers har testats på följande matriser

$$1/ \quad A = \begin{bmatrix} 2 & 4 \\ 3 & 1 \end{bmatrix} \quad A^{-1} = \begin{bmatrix} -0.1 & 0.4 \\ 0.3 & -0.2 \end{bmatrix}$$

$$2/ \quad A = \begin{bmatrix} 1 & 2 & 5 \\ 2 & 4 & 9 \\ 3 & 7 & 11 \end{bmatrix} \quad A^{-1} = \begin{bmatrix} -19 & 13 & -2 \\ 5 & -4 & 1 \\ 2 & -1 & 0 \end{bmatrix}$$

$$3/ \quad A = \begin{bmatrix} 1 & 1/2 & 1/3 \\ 1/2 & 1/3 & 1/4 \\ 1/3 & 1/4 & 1/5 \end{bmatrix} \quad A^{-1} = \begin{bmatrix} 9 & -36 & 30 \\ -36 & 192 & -180 \\ 30 & -180 & 180 \end{bmatrix}$$

$$4/ \quad A = \begin{bmatrix} 5 & 7 & 6 & 5 \\ 7 & 10 & 8 & 7 \\ 6 & 8 & 10 & 9 \\ 5 & 7 & 9 & 10 \end{bmatrix} \quad A^{-1} = \begin{bmatrix} 68 & -41 & -17 & 10 \\ -41 & 25 & 10 & -6 \\ -17 & 10 & 5 & -3 \\ 10 & -6 & -3 & 2 \end{bmatrix}$$

$$5/ \quad A = \begin{bmatrix} 1 & 2 & 1 \\ 2 & 4 & 2 \\ 3 & 1 & 2 \end{bmatrix} \quad A^{-1} \text{ Existerar ej.}$$

Exempel 3 är en Hilbert-matris; $a_{ij} = (i+j-1)^{-1}$.

Ex. 3 och 4 är hämtade ur Basic Theorems in Matrix Theory (National Bureau of Standards) sid 22.

Resultat av inverteringstest.

$$1/ \quad A^{-1} = \begin{matrix} -0.1000000 \\ 0.3000000 \end{matrix} \quad \begin{matrix} 0.4000000 \\ -0.2000000 \end{matrix}$$

$$2/ \quad A^{-1} = \begin{matrix} -19.0000003 \\ 5.0000001 \\ 2.0000000 \end{matrix} \quad \begin{matrix} 13.0000002 \\ -4.0000001 \\ -1.0000000 \end{matrix} \quad \begin{matrix} -2.0000000 \\ 1.0000000 \\ 0.0000000 \end{matrix}$$

$$3/ \quad A^{-1} = \begin{matrix} 9.0000013 \\ -36.0000064 \\ 30.0000060 \end{matrix} \quad \begin{matrix} -36.0000064 \\ 192.0000329 \\ -180.0000305 \end{matrix} \quad \begin{matrix} 30.0000060 \\ 180.0000282 \\ -180.0000305 \end{matrix}$$

$$4/ \quad A^{-1} = \begin{matrix} 68.0000140 \\ -41.0000085 \\ -17.0000037 \\ 10.0000021 \end{matrix} \quad \begin{matrix} -41.0000084 \\ 25.0000051 \\ 10.0000021 \\ -6.0000013 \end{matrix} \quad \begin{matrix} -17.0000037 \\ 10.0000022 \\ 5.0000009 \\ -3.0000005 \end{matrix} \quad \begin{matrix} 10.0000022 \\ -6.0000006 \\ 2.0000003 \\ -3.0000006 \end{matrix}$$

5/ Ger hopp till läge singular.

Det till synes dåliga resultatet i 3 och 4 beror
på att matriserna är illa konditionerade.

Test av första stegets minsta-kvadrat-skattning.

Kontroll har gjorts med minsta-kvadrat-skattning från program i ref.(4). För att få jämförbart resultat har använts en dataserie om 100 punkter, där de 10 första punkterna har värdet noll; de övriga 90 är tagna ur serien, som använts i exempel 2 ($\lambda=1.0$, $n=2$).

Då skattningarna görs på helt olika sätt, är det överensstämmende resultatet en god indikation på att kodningen är riktigt utförd.

Verkliga koeff.:	$a_1 = -1.5$	$b_1 = 1.0$	$c_1 = -1.0$
	$a_2 = 0.7$	$b_2 = 0.5$	$c_2 = 0.2$

Skattade koeff.:

	enl. PRIDE	enl. ref. (4)
$n=1$	$a_1 = -0.877$ $b_1 = 1.004$ $V = 174,377$	$a_1 = -0.88$ $b_1 = 1.00$ $V = 174.377$
$n=2$	$a_1 = -1.246$ $a_2 = 0.460$ $b_1 = 0.739$ $b_2 = 0.854$ $V = 80.184$	$a_1 = -1.25$ $a_2 = 0.46$ $b_1 = 0.74$ $b_2 = 0.85$ $V = 80.184$
$n=3$	$a_1 = -0.939$ $a_2 = -0.060$ $a_3 = 0.302$ $b_1 = 0.849$ $b_2 = 1.009$ $b_3 = 0.407$ $V = 65.700$	$a_1 = -0.94$ $a_2 = -0.06$ $a_3 = 0.30$ $b_1 = 0.85$ $b_2 = 1.01$ $b_3 = 0.41$ $V = 65.700$

V

KÖRDA EXEMPEL

Identifieringsalgoritmen har använts dels på kända genererade processer och dels på en verklig process.

De tänkta processerna i exempel 1 och 2 har genererats med formeln:

$$y(t) - 1.5y(t-1) + 0.7y(t-2) = u(t-1) + 0.5u(t-2) + \\ + e(t) - e(t-1) + 0.2e(t-2)$$

I exempel 3 identifieras följande system:

$$y(t) + a y(t-1) = u(t-1) + e(t) + c \cdot e(t-1)$$

där c antar värdena 0.99 och 0.0 och a antar värdena
-0.9.

Som insignal har valts +1 och -1 så medelvärdet av u över mätintervallet blir noll. Såsom brus, $e(t)$, har använts normalfördelade slumptal. Dessa har genererats från rektangelfördelade slumptal, vilka erhållits med tillgänglig maskinprocedur för SMIL.

Genereringarna har utförts av Kurt-Erik Eriksson och är beskrivna i ref.(4).

I exempel 4 identifieras ett okänt system.

Exempel 5 är ett problem med enkel regression.

Exempel 6 behandlar ett 1:a ordningens system jämförbart med exempel 3.

I exempel 7 undersöks ett oscillativt system.

Exempel 1

Tänkt process:

$$y(t) - 1.5y(t-1) + 0.7y(t-2) = u(t-1) + 0.5u(t-2) + \\ + e(t) - e(t-1) + 0.2e(t-2)$$

Antalet mätpunkter är 100 och e är slumptal $N(0, 0.75)$.

Processen skattas som ett 2:a ordningens system.

Resultat:

a_1	$= -1.47 \pm 0.03$
a_2	$= 0.69 \pm 0.02$
b_1	$= 0.84 \pm 0.08$
b_2	$= 0.79 \pm 0.11$
c_1	$= -0.84 \pm 0.10$
c_2	$= 0.01 \pm 0.10$

Skattningens förlopp: se tabell.

Vissa konvergensbesvär har erhållits då c_2 -koeff. i början är negativ. Vid full korrektion av koeff. ($\alpha=1$) skulle C-polynomet i vissa steg fått nollställen utom enhetscirkeln. Sämst skattat är b_2 , vars värde ligger 2.5 standardavvikelse från det genererade.

Tabell Exempel 1
(ex. anger exakt andraderivata)

λ	alfa	a_1	a_2	b_1	b_2	c_1	c_2	V	λ
0	0	0	0	0	0	0	0	0	1573
1	1	-1.38	0.60	0.87	0.83	0	0	46	0.96
1	0.3	-1.43	0.65	0.87	0.76	-0.22	-0.09	39	0.88
2	0.3	-1.46	0.68	0.87	0.72	-0.42	-0.15	34	0.83
3	0.3	-1.4723	0.6846	0.8644	0.7219	-0.551	-0.155	31.30	0.79
4	0.3	-1.4739	0.6868	0.8573	0.7358	-0.638	-0.125	29.99	0.77
5	0.5	-1.4734	0.6877	0.8490	0.7567	-0.738	-0.070	29.07	0.76
6	0.5	-1.4724	0.6875	0.8443	0.7695	-0.788	-0.031	28.83	0.76
7 ex	1	-1.4699	0.6865	0.8355	0.7906	-0.8367	0.0103	28.7532	0.758
8 ex	1	-1.4700	0.6865	0.8352	0.7905	-0.8375	0.0118	28.7531	0.758
9 ex	1	-1.4700	0.6865	0.8352	0.7905	-0.8375	0.0118		
		$\sigma_1 = 0.023$	0.019	0.080	0.108	0.100	0.100		

Exempel 2

Samma process som i exempel 1 men $e \in N(0,1)$.

Antal mätpunkter = 100.

A. Skattas som 1:a ordningens system.

l	alfa	a_1	b_1	c_1	V	M
		0	0	0	1325	100
0	1	-0.87	1.05	0	184	100
1	0.5	-0.84	1.13	0.23	164	80
2	0.5	-0.84	1.03	0.30	160	60
3	0.5	-0.84	0.93	0.34	157	60
4	0.5	-0.8468	0.87	0.37	156.31	60
5	1	-0.8500	0.78	0.403	155.62	60
6ex	1	-0.8504	0.750	0.412	155.56	60
7ex	1	-0.8502	0.743	0.415		
		$\sigma_i = 0.06$	0.2	0.1		

$$\lambda = 1.829$$

$$\text{Koeff: } \begin{cases} a_1 = -0.85 \pm 0.06 \\ b_1 = 0.7 \pm 0.2 \\ c_1 = 0.4 \pm 0.1 \end{cases}$$

B. Skattas som 2:a ordningens system.

Se tabell nästa sida.

Koeff. blir:

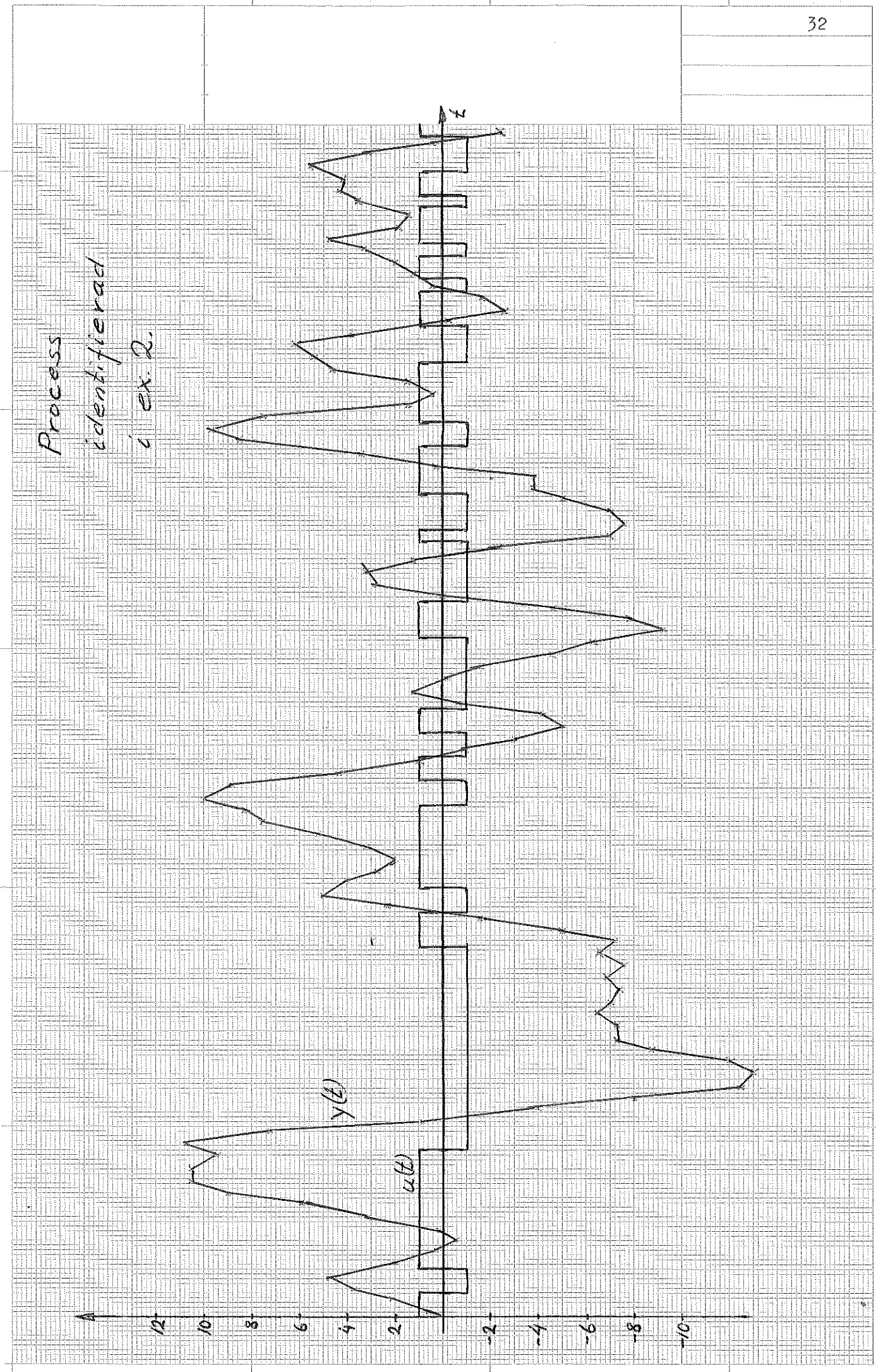
$$a_1 = -1.54 \pm 0.04 \quad a_2 = 0.73 \pm 0.03$$

$$b_1 = 0.99 \pm 0.12 \quad b_2 = 0.45 \pm 0.15$$

$$c_1 = -0.94 \pm 0.11 \quad c_2 = 0.04 \pm 0.10$$

Med undantag av c_2 ligger de skattade värdena på mindre

än en standardavvikelse från de genererade värdena.



Tabell Exempel 2B

λ	alfa	a ₁	a ₂	b ₁	b ₂	c ₁	c ₂	V	M
0	1	0	0	0	0	0	0	1325	200
1	0.5	-1.25	0.46	0.82	0.82	0	0	86	300
2	0.5	-1.43	0.62	0.89	0.60	-0.38	-0.13	70	1300
3	0.5	-1.52	0.71	0.94	0.47	-0.66	-0.15	59	3500
4	0.5	-1.5444	0.7246	0.9723	0.4530	-0.7999	-0.0928	55.83	7000
5	1	-1.5435	0.7254	0.9788	0.4552	-0.8668	-0.0319	54.97	7500
6 ex	1	-1.5436	0.7268	0.9869	0.4525	-0.9399	0.0383	54.6621	7800
7 ex	1	-1.54405	0.72707	0.98732	0.45048	-0.93929	0.038255	54.6618	7800
		$\sigma_1 = 0.04$	0.03	0.12	0.15	0.11	0.10		
		$\lambda = 1.084$							

Tabell Exempel 2C

λ	alfa	a ₁	a ₂	a ₃	b ₁	b ₂	b ₃	c ₁	c ₂	c ₃	V	M
0	1	0	0	0	0	0	0	0	0	0	1325	500
1	0.4	-0.95	-0.05	0.30	0.93	1.00	0.39	0	0	0	71	1900
2	0.2	-1.42	0.56	0.06	0.92	0.59	0.03	-0.55	0.05	-0.09	62	220000
3	0.2	-1.93	1.32	-0.28	0.94	0.12	-0.24	-1.12	0.33	-0.13	58	540000
4	0.2	-1.93	1.32	-0.28	0.95	0.11	-0.22	-1.15	0.35	-0.11	56	810000
5	0.5	-1.922	1.308	-0.276	0.958	0.110	-0.202	-1.184	0.361	-0.105	56.06	$0.6 \cdot 10^6$
6 ex	1	-1.956	1.371	-0.305	0.989	0.030	-0.152	-1.363	0.487	-0.069	54.89	$0.6 \cdot 10^6$
7 ex	1	-1.873	1.241	-0.244	0.990	0.109	-0.117	-1.277	0.416	-0.075	54.54	$2.6 \cdot 10^6$

C. Skattas som 3:e ordningens system.

Skattningens förlopp: se tabell.

Koeff blir:

$$\begin{array}{lll} a_1 = -1.9 \pm 0.9 & a_2 = 1.2 \pm 1.4 & a_3 = -0.2 \pm 0.7 \\ b_1 = 1.0 \pm 0.1 & b_2 = 0.1 \pm 0.9 & b_3 = -0.1 \pm 0.4 \\ c_1 = -1.3 \pm 0.9 & c_2 = 0.4 \pm 0.8 & c_3 = -0.1 \pm 0.1 \end{array}$$

M i tabellerna är ett approximativt konditionstal (se ref. (5)) för andraderivatmatrisen. Den dåliga konvergensen och den stora spridningen på koeff. i skattning C är en följd av de stora konditionstalen.

En anledning till de höga konditionstalen kan vara att de rader i matrisen, som tillkommit för 3:e ordningens system, är lineärkombinationer av övriga rader. Detta skulle innebära att systemet i detta fall är av 2:a ordningen.

Vi undersöker förlustfunktionen.

$$V_1 = 155.6 \quad V_2 = 54.7 \quad V_3 = 54.5$$

Då felen är normalfördelade fås: ($N=100$)

$$V_1/\sigma^2 \in \chi^2(97) ; \quad V_2/\sigma^2 \in \chi^2(94) ; \quad V_3/\sigma^2 \in \chi^2(91) ;$$

Vi vill statistiskt testa om sänkningen av förlustfunktionen är signifikant då vi ökar systemordningen.

V_i är ej säkert oberoende men däremot $(V_i - V_{i+1})$ och V_i .

Vi bildar uttrycket:

$$\frac{V_i - V_{i+1}}{n_i} \frac{n_j}{V_i} \quad \text{där } n_j \text{ är antal frihetsgrader.}$$

Detta uttryck antages ha fördelningen $F(n_i - n_{i+1}, n_i)$.

Betrakta 5%-nivån.

$$F_{0.05}(3,97) = 2.70$$

$$F_{0.05}(3,94) = 2.71$$

Men

$$\frac{V_1 - V_2}{3} \frac{97}{V_1} = 21.0$$

$$\frac{V_2 - V_3}{3} \frac{94}{V_2} = 0.12.$$

Då ordningstalet ökas från 1 till 2 fås en signifikant sänkning av förlustfunktionen. Ökning av ordningstalet till 3 ger ingen signifikant sänkning på denna nivå.

Härav slutes att systemordningen är 2 med de koeff. som erhållits under B.

Exempel 3

Detta exempel visar hur svårigheter kan uppstå då minimipunkten på förlustfunktionen ligger nära stabilitetsgränsen.

Betrakta följande system:

$$y(t) + a \cdot y(t-1) = u(t-1) + e(t) + c \cdot e(t-1) ; \quad e \in N(0,1)$$

Sätt $a=-0.9$ och $c=0.0$ och identifiera från mätserie med 100 mätpunkter. Resultat:

l	alfa	a	b	c	V
		0	0	0	1069.6
0	1	-0.9052	0.9502	0	52.3388
1	0.5	-0.9034	0.9490	0.0389	52.0995
2	1	-0.9009	0.9504	0.0853	51.9720
3	1	-0.9002	0.9534	0.0941	51.9668
4 ex	1	-0.9000	0.9539	0.0960	51.9665
5 ex	1	-0.9000	0.9541	0.0964	

$$\lambda = 1.0195$$

$$\sigma_a = 0.025 \quad \sigma_b = 0.108 \quad \sigma_c = 0.100$$

$$a = -0.90 \pm 0.03 \quad b = 0.95 \pm 0.11 \quad c = 0.10 \pm 0.10$$

Här finns inga svårigheter med konvergens.

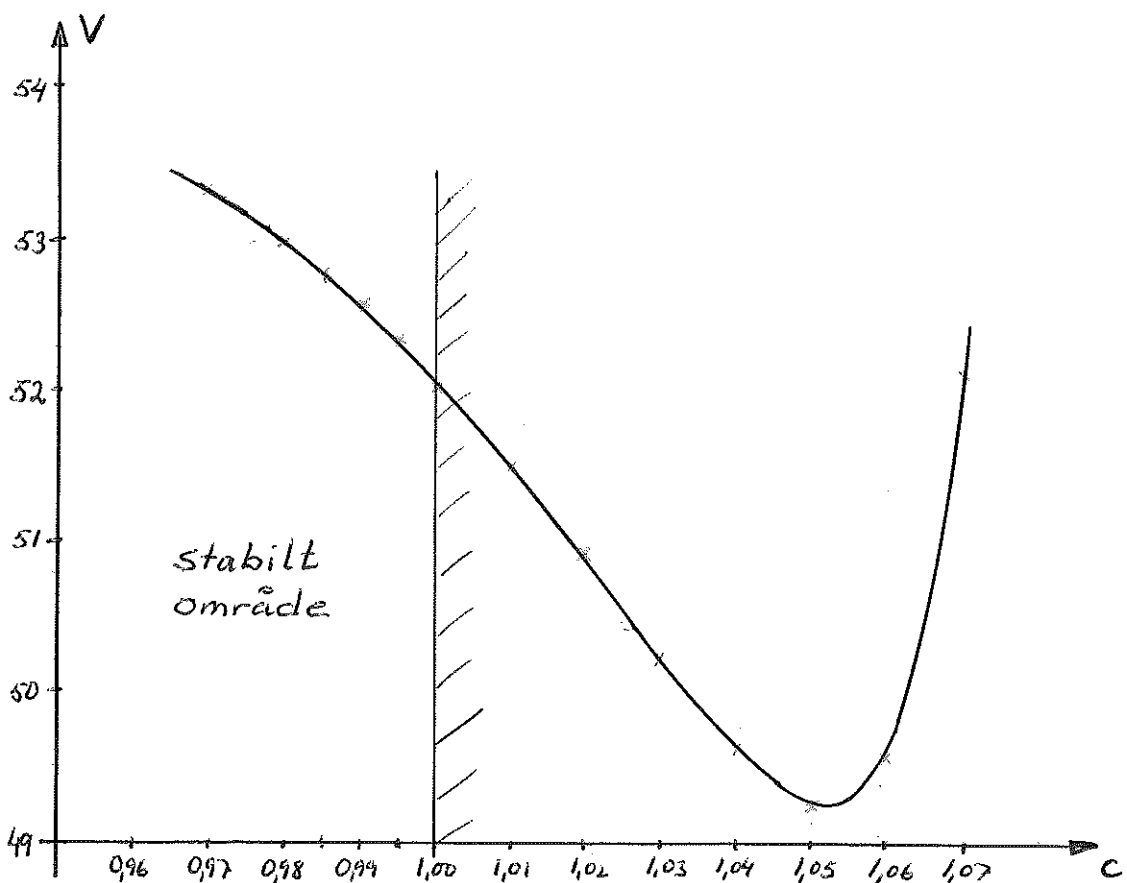
Generera i stället samma system med $c=0.99$. Antal mätpunkter samma = 100. Resultat:

l	alfa	a	b	c	V
		0	0	0	2052.0
0	1	-0.920	0.991	0	111.3
1	0.5	-0.906	0.983	0.257	88.9
2	0.5	-0.895	0.992	0.506	73.6
3	0.5	-0.889	0.993	0.728	62.9
4	0.5	-0.887	0.978	0.898	55.9
5	0.5	-0.890	0.957	0.985	52.89
6ex	0.2	-0.891	0.968	0.992	52.56
7ex	0.2	-0.891	0.979	0.999	52.20
8ex	0.2	-0.891	0.989	<u>1.007</u>	51.75

Detta c-värde ger instabilt system.

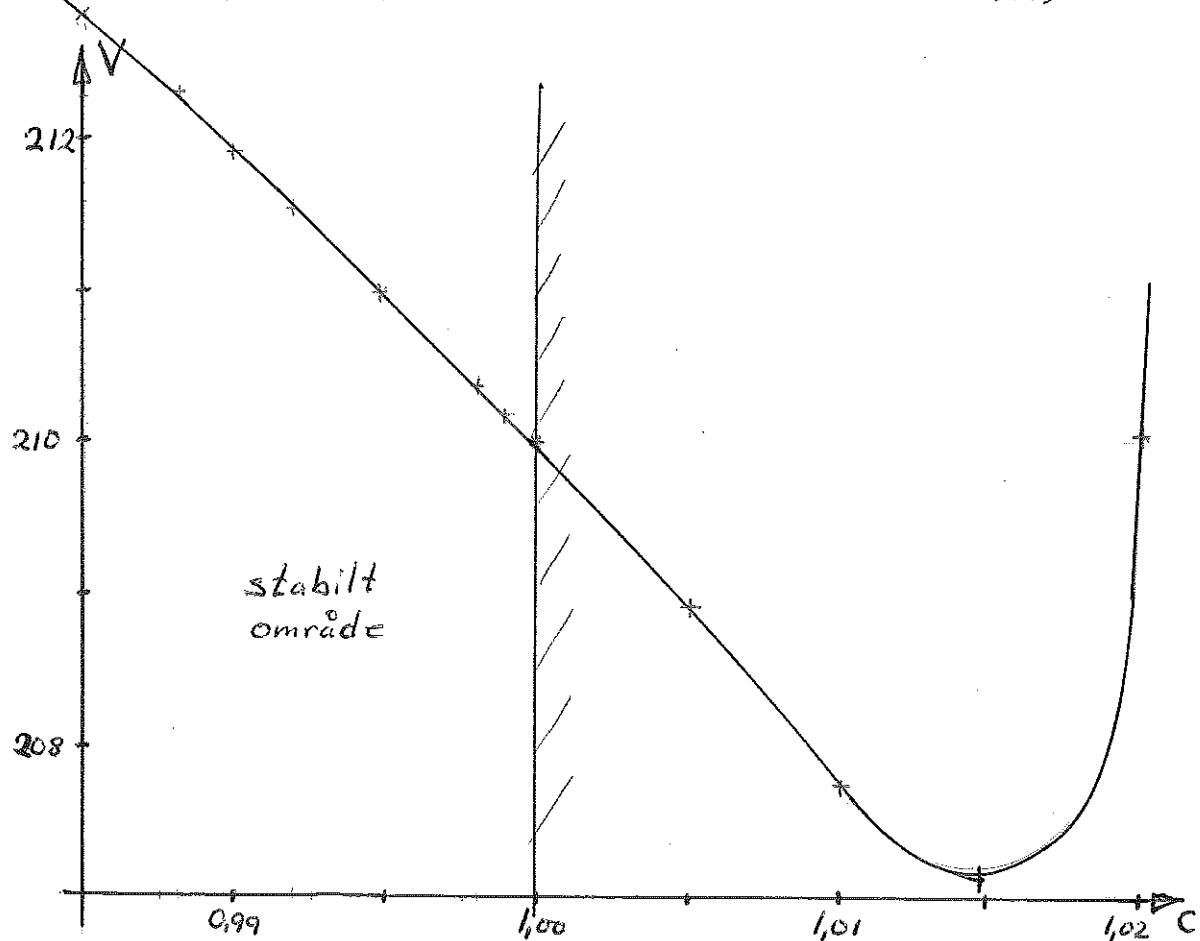
Värdet på c ökar även då det överstigit det genererade värdet 0.99. Finns det någon minimipunkt inom stabilitetsområdet? Pröva genom att läsa in några lämpliga c -värden och bestäm motsvarande minsta-kvadrat-skattning av a och b .

Inläst c	Minsta-kvadrat-sk.		v	$\frac{dv}{dc}$	$\frac{d^2v}{dc^2}$
	a	b			
0.97	-0.90	0.98	53.32	-35.3	0.094
0.98	-0.90	0.99	52.95	-38.5	0.064
0.985	-0.90	0.99	52.75	-40.9	0.063
0.99	-0.90	0.99	52.54	-43.8	0.074
0.995	-0.90	0.99	52.31	-47.2	0.157
1.00	-0.90	1.00	52.07	-50.9	0.095
1.01	-0.89	1.00	51.52	-58.9	0.141
1.02	-0.90	1.00	50.89	-65.4	0.077
1.03	-0.90	0.98	50.23	-66.5	0.017
1.04	-0.90	0.96	49.60	-55.3	0.007
1.05	-0.90	0.92	49.21	-16.2	0.003
1.06	-0.90	0.85	49.52	99.8	0.002
1.07	-0.91	0.73	52.04	483.4	0.001



Av denna undersökning att döma finns ingen minimipunkt inom stabilitetsområdet. Anledningen till detta kan vara den korta mätserien. Undersök i stället en serie om 400 punkter. Minsta-kvadrat-skattning för olika c -värden ger:

Inläst	Minsta-kvadrat-sk.			
c	a	b	V	$\frac{dV}{dc}$
0.985	-0.866	0.983	212.79	-167
0.988	-0.866	0.984	212.28	-173
0.990	-0.866	0.984	211.93	-177
0.992	-0.866	0.984	211.57	-181
0.995	-0.866	0.985	211.02	-190
0.998	-0.866	0.985	210.43	-199
0.999	-0.866	0.985	210.23	-204
1.000	-0.866	0.984	210.02	-208
1.005	-0.866	0.984	208.93	-229
1.010	-0.866	0.983	207.74	-243
1.020	-0.866	0.982	210.05	48222
1.015	-0.871	0.985	207.06	-231



Fortfarande ligger minimipunkten utanför stabilitetsområdet. c-värdet för minimum har dock minskat från ca 1.055 till ca 1.015. Vi gör samma beräkningar för en serie om 800 punkter.

Inläst	Minsta-kvadrat-sk.			$\frac{dV}{dc}$	$\bar{\sigma}_c$
c	a	b	V		
0.995	-0.892	0.989	412.83	-144	0.005
0.998	-0.892	0.989	412.25	-263	0.004
1.005	-0.892	0.991	408.92	-627	0.004
1.010	-0.894	0.995	496.32	966207	0.002
1.007	-0.892	0.992	407.65	-2314	0.004

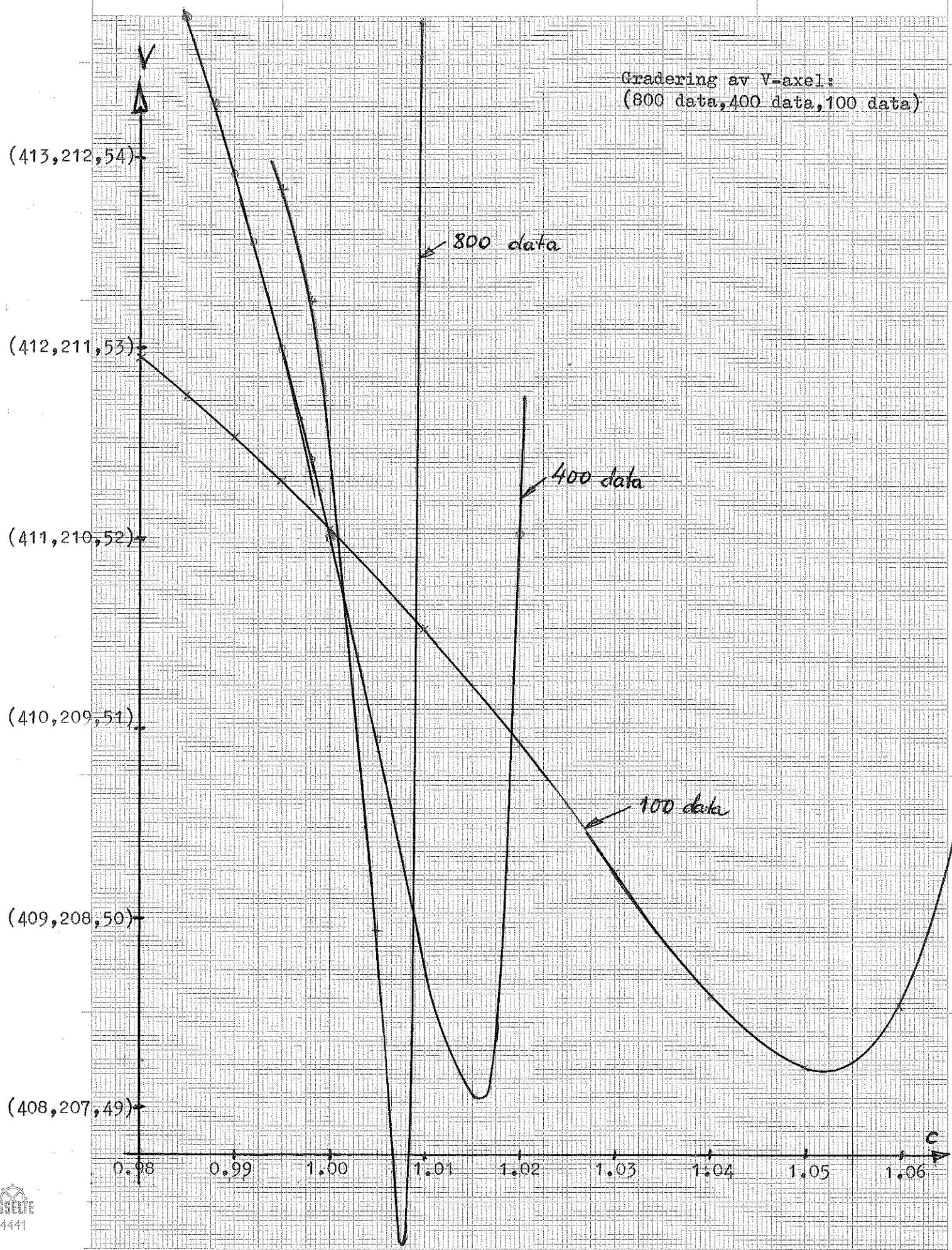
De tre serierna är samlade i ett diagram. Se nästa sida.

Av diagrammet framgår att minimipunkten närmar sig det stabila området då mätserien växer. I detta fall erfordras betydligt längre mätserie för stabil skattning.

På teoretisk väg kan man bestämma förlustfunktionens variation med skattat c-värde för ett 1:a ordningens system. Detta är gjort i appendix.

Därur färs att förlustfunktionen har minimum för $c=0.99$ och $V \rightarrow \infty$ då $c \rightarrow 1$. Härledningen gäller för oändligt långa serier.

Diagram till Exempel 3.



Exempel 4

Som praktiskt exempel har valts ett system hämtat från ett examensarbete i elektrisk mätteknik av H.G. Karlsson.

Insignalen är blodtrycket i ett ben och utsignalen är benets volymsvariation. Se diagram.

Systemet skattas för $n=2$ och $n=3$.

Antal mätpunkter: 314.

Skattningens förlopp: se tabell.

Resultat:

$n=2$.

$$a_1 = -1.80 \pm 0.03 \quad a_2 = 0.83 \pm 0.03$$

$$b_1 = 0.10 \pm 0.03 \quad b_2 = -0.07 \pm 0.03$$

$$c_1 = -0.62 \pm 0.07 \quad c_2 = 0.08 \pm 0.06$$

För $n=3$ fås instabilt system redan efter andra skattningen.

Detta har ej kunnat undvikas trots att flera små alfa-värden har provats. Konditionstalet anger betydande numeriska svårigheter, vilket torde bero på lineärberoende, och vi sluta oss direkt till att systemet är av 2:a ordningen:

$$y(t) - 1.80 y(t-1) + 0.83 y(t-2) = 0.10 u(t-1) - 0.07 u(t-2) + \\ + e(t) - 0.62 e(t-1) + 0.08 e(t-2)$$

där $e(t)$ är normalfördelade $(0; 3.4)$, och standardavvikelseer på koeff. enligt ovan.

Tabell Exempel 4

λ	alfa	a_1	a_2	b_1	b_2	c_1	c_2	V	λ	M
$n = 2$										
0	1	0	0	0	0	0	0	401529		1000
1	1	-1.61	0.71	-0.028	0.102	0	0	2118.5	3.67	5000
2	0.5	-1.809	0.857	0.043	-0.011	-0.478	-0.007	1841.9	3.42	7000
3	0.5	-1.795	0.840	0.064	-0.034	-0.521	0.050	1808.9	3.39	10000
4	1	-1.7914	0.835	0.075	-0.046	-0.552	0.070	1800.6	3.387	10000
5	1	-1.7915	0.832	0.087	-0.060	-0.595	0.084	1795.4	3.3817	10000
6 ex	1	-1.7944	0.8335	0.0911	-0.0657	-0.6081	0.0798	1794.6	3.3809	12000
7 ex	1	-1.79545	0.83331	0.09527	-0.07086	-0.61623	0.07816	1794.4	3.3808	12000
		$\sigma_1 = 0.026$	0.023	0.024	0.028	0.067	0.056			
$n = 3$										
0	1	0	0	0	0	0	0	0	401529	12000
1	0.1	-1.45	0.32	0.20	-0.08	0.29	-0.16	0	0	
1	0.1	-1.52	0.44	0.15	-0.08	0.29	-0.17	-0.09	-0.01	-0.02
								1795	3.4	200000

Diagram till exempel 4.

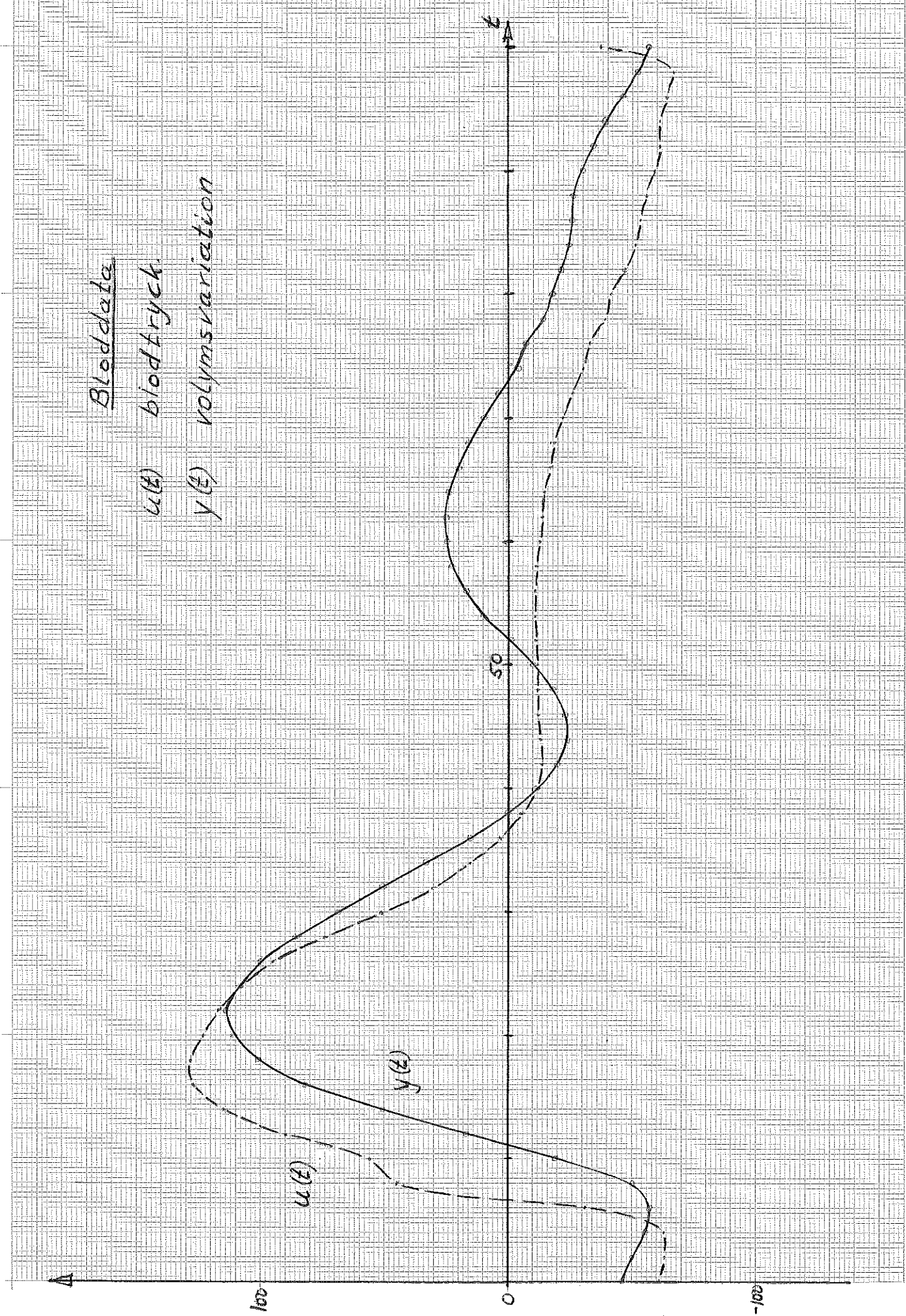


Diagram till exempel 4

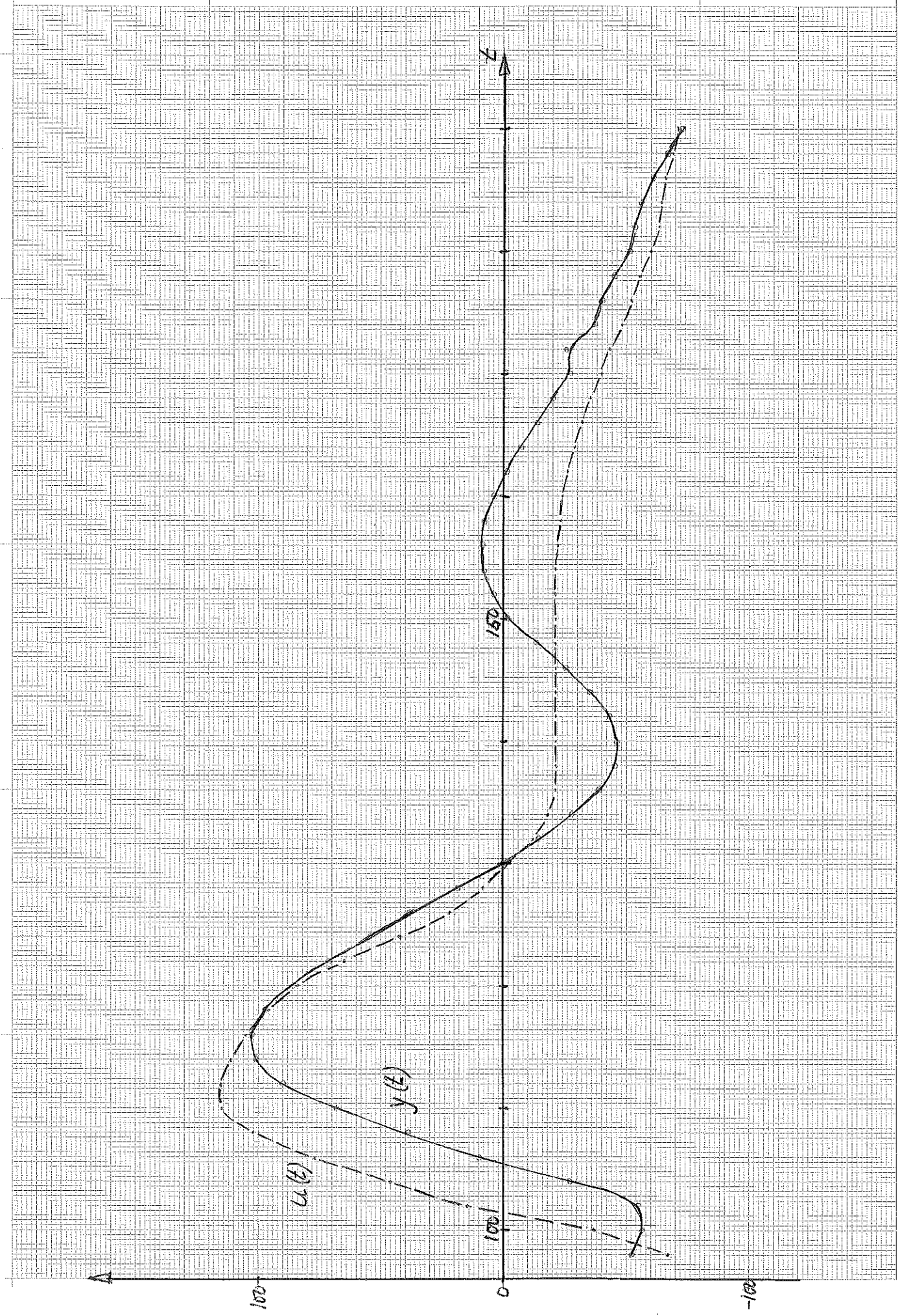


Diagram till exempel 4

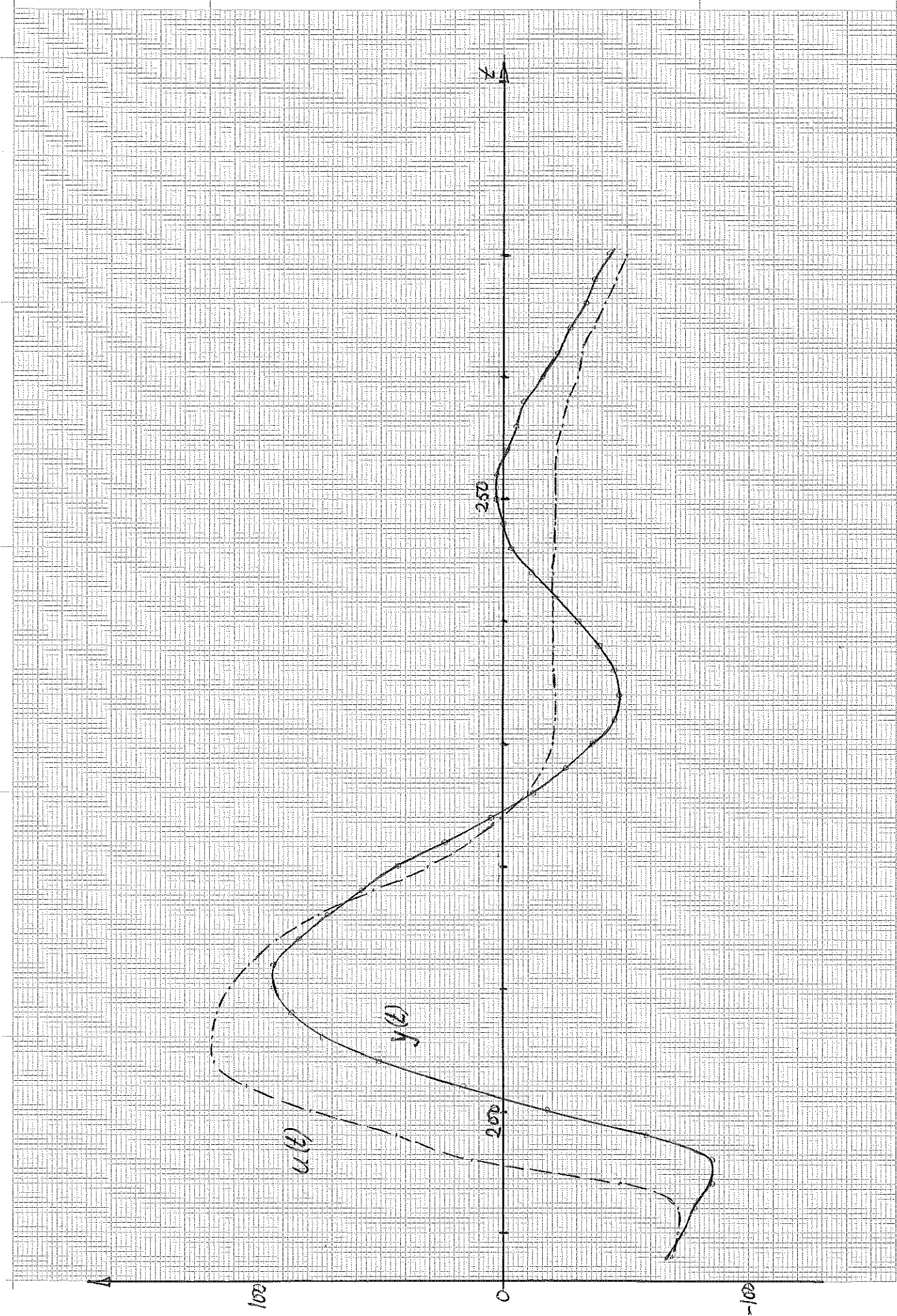
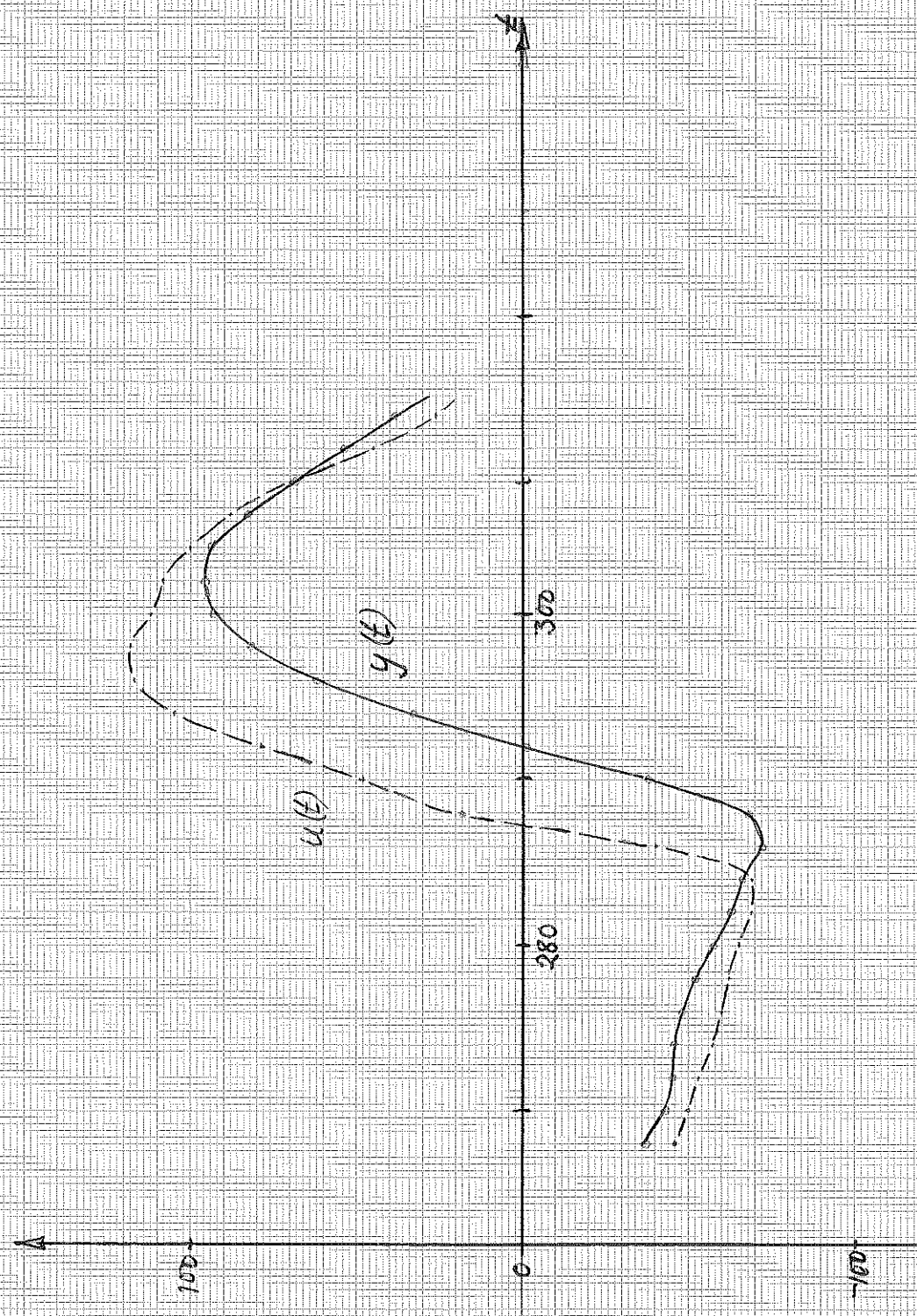


Diagram till exempel 4



Exempel 5

Med enkla korrigeringar av programmet kan vissa specialfall av det allmänna identifieringsproblemet lösas. I många fall är det tillräckligt att hålla vissa koeff. noll. Detta erhålls på samma sätt som första stegets minstakvadrat-skattning, där alla derivator med avseende på c-koeff. nollställs (se III.4).

I detta exempel visas en enkel regressionsanalys, där ytterligare åtgärder måste vidtagas.

Vi genererar processen:

$$y(t) = 5 \cdot u(t) + e(t)$$

där $e(t) \in N(0,2)$ och $u(t) \in N(0,1)$.

Lösning:

För att kunna skatta b_0 måste indata förskjutas ett steg bakåt i tiden (se III.9). Därvid blir b_1 en skattning av b_0 . För att få en skattning av b_1 måste vi anropa $n=1$. Koeff. a_1 och c_1 skall dock vara noll. Detta får genom nollställning av derivator enl. ovan.

Vi använder 100 mätpunkter.

Resultat: $V = 216.0$

$$\lambda = 2.10$$

$$b'_1 = b_0 = 5.0 \pm 0.5$$

I appendix finns den variant på PRIDE som används samt huvudprogrammet.

Exempel 6

Genererad process:

$$y(t) - 0.5 y(t-1) = u(t-1) + e(t) + 0.99 e(t-1)$$

med $u(t) \in N(0,1)$

$e(t) \in N(0,1)$

antal mätpunkter = 500.

Detta exempel har körts i samband med motsvarande körning i ref.(4). Jämför även exempel 3.

Skattningens förlopp:

alfa	a	b	c	V	λ	$\frac{dV}{dc}$
	0	0	0	1420		
1	-0.69	1.01	0	472	1.37	-343
0.5	-0.60	1.01	0.27	394	1.26	-262
0.5	-0.54	1.01	0.52	341	1.17	-213
0.5	-0.50	1.01	0.72	305	1.10	-179
0.5	-0.49	1.02	0.85	283	1.06	-161
0.2	-0.49	1.02	0.88	278	1.05	-160
0.2	-0.49	1.02	0.91	274	1.05	-160
0.2	-0.49	1.01	0.93	270	1.04	-161
0.2	-0.49	1.01	0.95	267	1.03	-162
0.2	-0.49	1.01	0.96	265	1.03	-160
0.4	-0.496	1.008	0.989	260	1.02	-117
0.4	-0.502	1.006	0.995	258.8	1.017	-167
0.2	-0.504	1.005	0.998	258.0	1.016	-206
0.2	-0.505	1.005	0.999	257.4	1.015	-254
0.1	-0.506	1.005	<u>1.001</u>			
	σ_i	0.03	0.02	0.008		

Jämför resultatet i exempel 3. Även här är mätserien för kort, för att vi skall erhålla en stabil skattning.

Se även appendix.

Exempel 7

Oscillativt system.

$$\dot{X} = \begin{bmatrix} 0 & 1 \\ -1 & 0 \end{bmatrix} X + \begin{bmatrix} 0 \\ 1 \end{bmatrix} U$$

$$y = \begin{bmatrix} 1 \\ 0 \end{bmatrix} X + \lambda e$$

Detta system har egenvärdena ± 1 .

Lösning:

$$X(t+h) = \begin{bmatrix} \cos h & \sin h \\ -\sin h & \cos h \end{bmatrix} X(t) + \begin{bmatrix} 1-\cos h \\ \sin h \end{bmatrix} U(t)$$

Inför förskjutningsoperatorn z .

$$\begin{bmatrix} z-\cos h & -\sin h \\ \sin h & z-\cos h \end{bmatrix} X(t) = \begin{bmatrix} 1-\cos h \\ \sin h \end{bmatrix} U(t)$$

$$\begin{cases} x_1(t) = \frac{(1-\cos h)(z+1)}{z^2 - 2\cos h \cdot z + 1} U(t) \\ y(t) = x_1(t) + \lambda \cdot e(t) \end{cases}$$

Med $h=0.1$; $\lambda=0.5$; $e \in N(0,1)$ genereras 400 mätpunkter.

In- och utsignal: se diagram.

De genererade koeff. är:

$$\begin{array}{lll} a_1 = 1.990 & b_1 = 0.005 & c_1 = a_1 \\ a_2 = 1.000 & b_2 = 0.005 & c_2 = a_2 \end{array}$$

Skattningens gång: se tabell.

En mycket dålig MK-skattning erhålls i första steget.

Ingen minimipunkt för förlustfunktionen har erhållits.

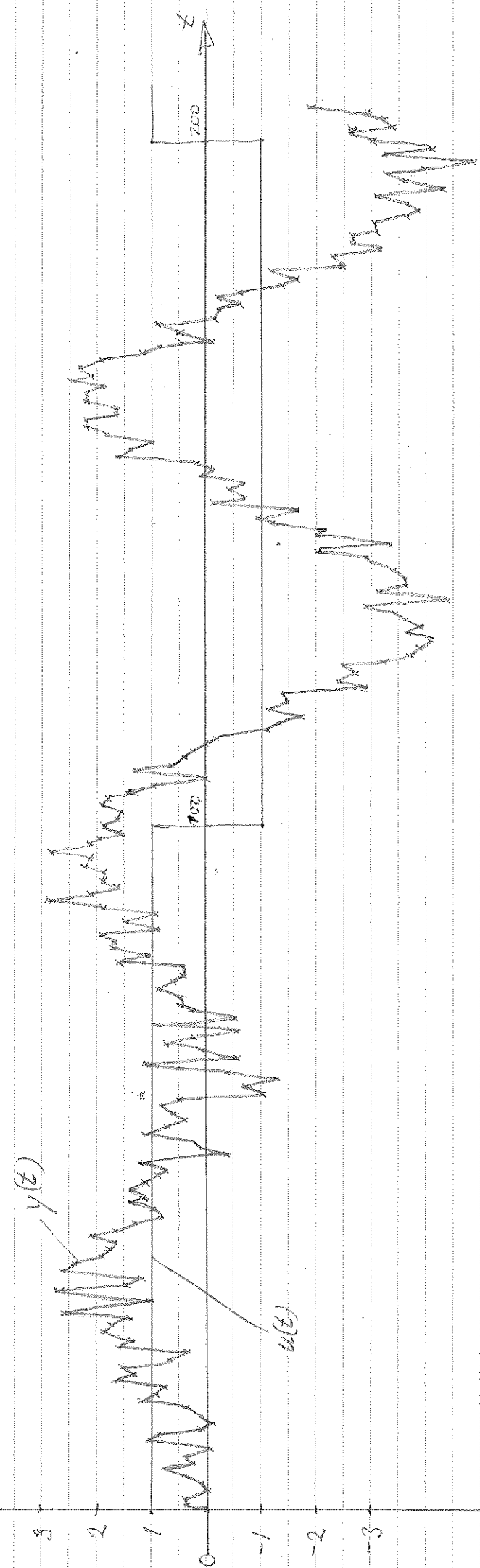
Skattningen strävar hela tiden ut ur konvergensområdet.

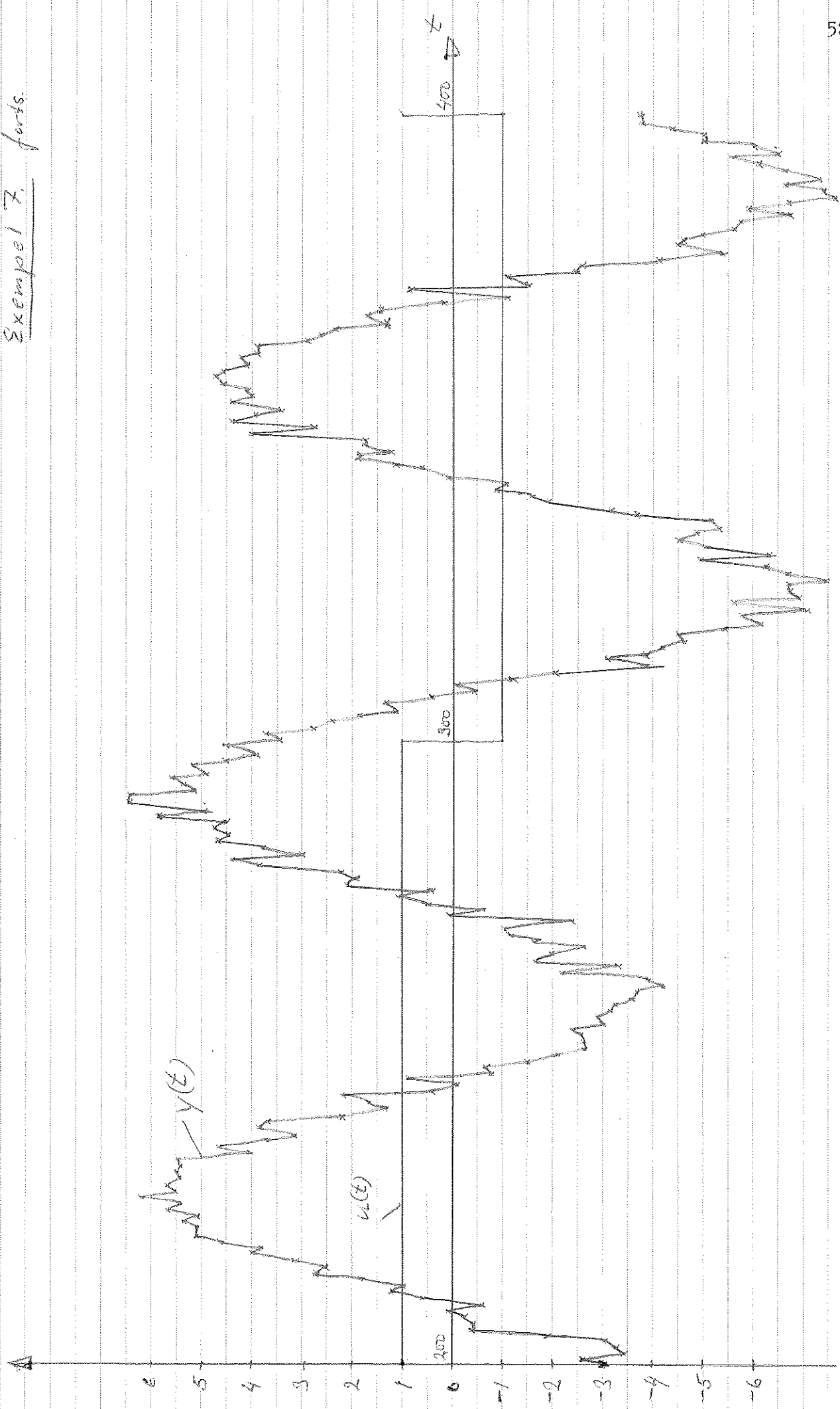
Jfr. de små alfa-värdena.

Tabell Exempel 7

α_{fa}	a_1	a_2	b_1	b_2	c_1	c_2	V	λ	M
0	0	0	0	0	0	0	2022	0.73	12000
-0.67	-0.29	0.087	0.029	0	0	0	107		
-1.78	0.76	0.088	-0.060	-1.09	0	0.38	120		
0.5	0.92	0.061	-0.044	-1.27	0.43	98.0			
0.2	-1.999	1.006	0.048	-0.039	-1.42	0.47	81.9		
0.2	-2.006	1.015	0.030	-0.029	-1.47	0.49	80.6		
0.1	-2.004	1.012	0.022	-0.017	-1.51	0.52	77.0		
0.4	-2.000	1.009	0.010	-0.003	-1.58	0.59	71.1		
0.4	-1.997	1.006	0.007	0.002	-1.64	0.65	66.9		
0.4	-1.994	1.004	0.009	0.000	-1.75	0.76	62.1		
0.4	-1.993	1.002	0.012	-0.003	-1.85	0.85	61.2		
0.4	-1.991	1.001	0.015	-0.005	-1.86	0.87	59.2		
0.4	-1.9904	1.0004	0.0145	-0.0047	-1.879	0.882	58.1		
0.4	-1.9900	1.0000	0.0141	-0.0043	-1.902	0.907	56.9		
0.1	-1.9895	0.9995	0.0131	-0.0033	-1.9634	0.9712	55.27		
0.5	-1.9896	0.9996	0.0081	0.0020	-1.9771	0.9856	54.02		
0.2	-1.9896	0.9996	0.0084	0.0017	-1.9812	0.9897	54.04		
0.05	-1.98960	0.99959	0.00868	0.00139	-1.98320	0.99170	53.86		
0.05	-1.98960	0.99958	0.00880	0.00126	-1.98515	0.99366	53.60		
0.05	-1.98961	0.99958	0.00889	0.00116	-1.98713	0.99559	53.33		
0.05	-1.98962	0.99958	0.00897	0.00107	-1.98898	0.99745	53.21		
0.05	-1.98962	0.99958	0.00904	0.00099	-1.99076	0.99925	53.05		
0.01	-1.98963	0.99958	0.00905	0.00098	-1.99110	0.99959	53.00		
0.01	-1.98964	0.99959	0.00905	0.00097	-1.99150	0.99990	52.99		
0.005	-1.98964	0.99959	0.00905	0.00097	-1.99175	0.99995	53.02		
$\sigma_{\theta i}$	0.0003	0.0003	0.0026	0.0026	0.0130	0.0135			
$\frac{\partial V}{\partial \theta i}$	-8600	-9800	380	564	-148	-193			

Example 7.



Experiments 2 facts.

REFERENSER

- (1) K.J. Åström, T. Bohlin:
Numerical identification of linear dynamic systems
from normal operation records.
- (2) K.J. Åström, T. Bohlin, S. Wensmark:
Automatic construction of linear stochastic dynamic
models for stationary industrial processes with
random disturbances using operation records.
- (3) B. Svärd:
Undersökning av dynamiska egenskaper hos en industriell
process. (Examensarbete i regleringsteknik)
- (4) K.E. Eriksson:
Numerisk bestämning av processdynamik.
(Examensarbete i regleringsteknik)
- (5) C.E. Fröberg:
Lärobok i numerisk analys.
- (6) T. Ekman, C.E. Fröberg:
Lärobok i algol.
- (7) T. Ekman:
Större PM ang. SMIL - ALGOL.

APPENDIXUtskrifter i PRIDE

Förlustfunktionen V

Materialets spridning

1:a-derivator av förlustfunktionen V1

Matris med 2:a-derivator av förlustfunktionen V2

Matris med inversen till V2,

alfa

Nya koeff.

Koefficienternas spridning

Specialprogram för enkel regression

På följande sidor gives varianten på PRIDE och huvudprogrammet till enkel regressionsanalys. Observera att förskjutningen av indata göres vid inläsningen till ytter kärnminne.

Enkel regression

PRIDE

```

begin integer iy,x; real e,V,u,y,korr,lb;
array E[1:8],C,EC,V1[1:24],VCC,ECC[1:48],V2[1:24,1:24];
procedure PRIDE(n,N,z,Z,t,alfa); value n,N,z,Z,t,alfa;
integer n,N,z,Z,t; real alfa;
begin integer i,j,k,l,m; m:=3*n;
if z=1 then for i:=1 step 1 until m do C[i]:=0;
comment start loop l;
for l:=1 step 1 until Z do
begin LABAN(n,N,t);
if z=1 then
begin for i:=1 step 1 until n, 2*n+1 step 1 until m do
begin V1[i]:=0;
for j:=1 step 1 until m do V2[i,j]:=V2[j,i]:=0;
V2[i,i]:=1;
end
end;
punch(1); print(6,5,V/2); punch(1);
lb:=V/N; print(sqrt(lb)); punch(1);
for i:=1 step 1 until m do print(4,4,V1[i]); punch(1);
for i:=1 step 1 until m do
begin punch(1);
for j:=1 step 1 until m do print(6,2,V2[i,j])
end;
invers(V2,m,10^-8,UT);
for i:=1 step 1 until m do
begin punch(1);
for j :=1 step 1 until m do print(2,6,V2[i,j])
end; punch(1);
for i:=1 step 1 until m do
begin korr:=0;
for j:=1 step 1 until m do
korr:=korr+V2[i,j]*V1[j];
C[i]:=C[i]-korr*alfa;
end korrektion av koeff;
print(alfa); if t=1 then punch(5); punch(1);
for i:=1 step 1 until m do print(2,4,C[i]); punch(1);
for i:=1 step 1 until m do print(2,3,sort(abs(lb*V2[i,i]))));
punch(1); punch(1);
end loop l;
punch(1); punch(1);
end PRIDE;;

```

Ändring
jfr. med
allmänt
program

Enkel regression

Huvudprogram

```
for iv:=1 step 1 until 99 do
begin LECS(read,2×iv); IECS(read,2×iv-1) end;
PRIDE(1,99,1,1,0,1);
PRIDE(1,99,0,1,1,1);
UT: punch(3)
end
```

Teoretisk undersökning av förlustfunktionen

Vi undersöker förlustfunktionens teoretiska utseende för ett 1:a ordningens system.

Antag vi genererat en serie med $c=c_0$ och skattat värdet c .

Då gäller: $y(t) = e(t) + c_0 e(t-1)$.

Skattat fel:

$$E(t) = \frac{1}{1+c} z^{-1} \cdot y(t) = \frac{1+c_0 z^{-1}}{1+c} e(t) = H(z) e(t)$$

Förlustfunktionen erhåller bidraget:

$$V = \frac{1}{2\pi i} \oint H(z) H(z^{-1}) \frac{dz}{z}$$

där integralen tages runt enhetscirkeln.

Fall 1. $c < 1$.

$$V_1 = \frac{c_0}{c} + \frac{(-c+c_0)(1-c_0c)}{(1-c^2)(-c)} = \frac{1-2c_0c+c_0^2}{1-c^2}$$

$$\frac{dV_1}{dc} = \frac{(c-c_0)(1-c_0c)}{(1-c^2)^2}$$

Fall 2. $c > 1$.

$$V_2 = \frac{(1-c_0)^2}{c(c^2-1)} + \frac{1+c_0^2}{c(c+1)}$$

$$\frac{dV_2}{dc} = \frac{-(1-c_0)^2(3c^2-1)}{(c(c^2-1))^2} - \frac{(1+c_0)^2(2c+1)}{(c(c+1))^2}$$

Märk:

A. $\frac{dV_1}{dc} = 0$ för $c=c_0$ då $c_0 < 1$

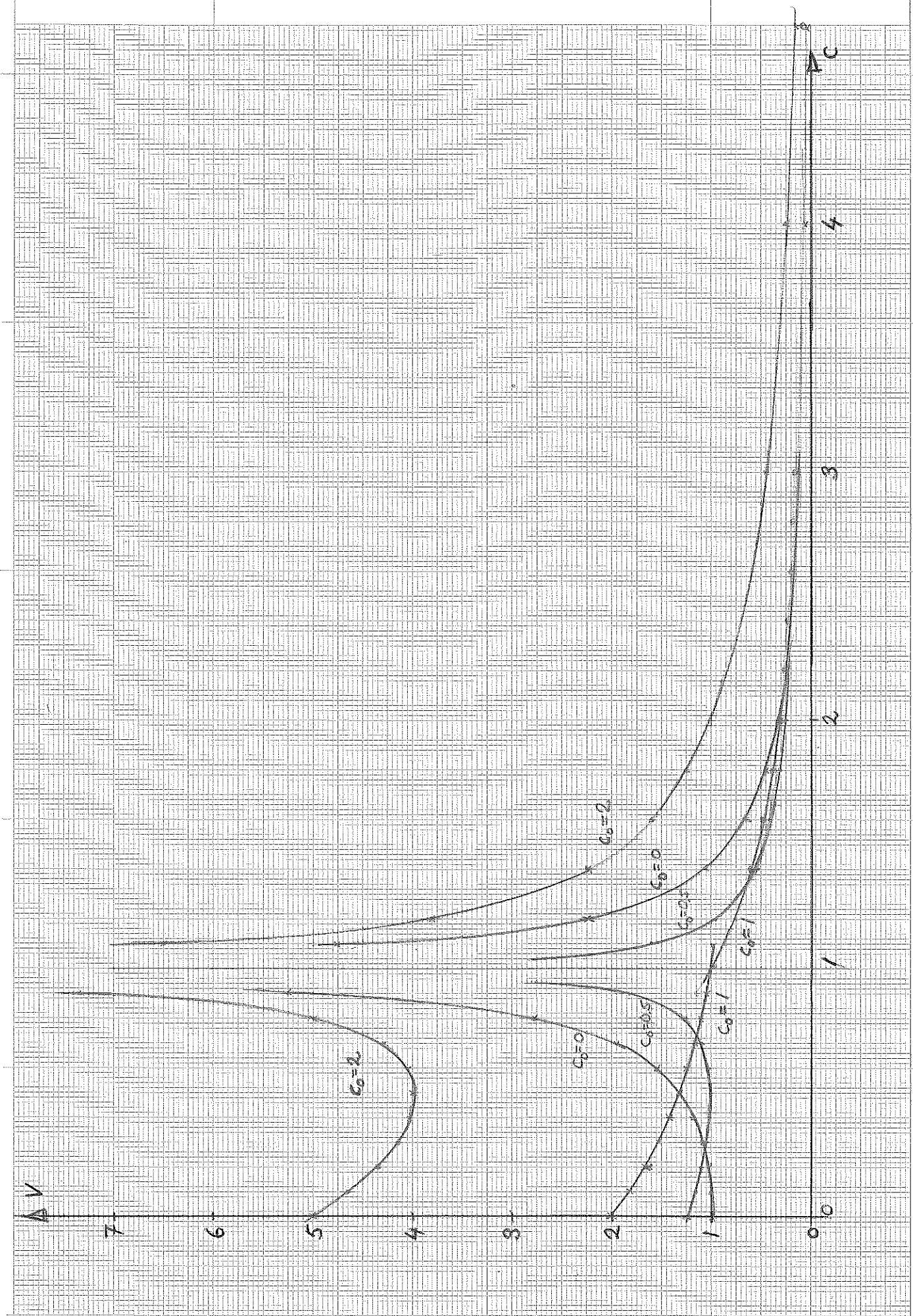
$c=1/c_0$ då $c_0 > 1$.

B. $\frac{dV_1}{dc} < 0$ då $c_0 = 1$.

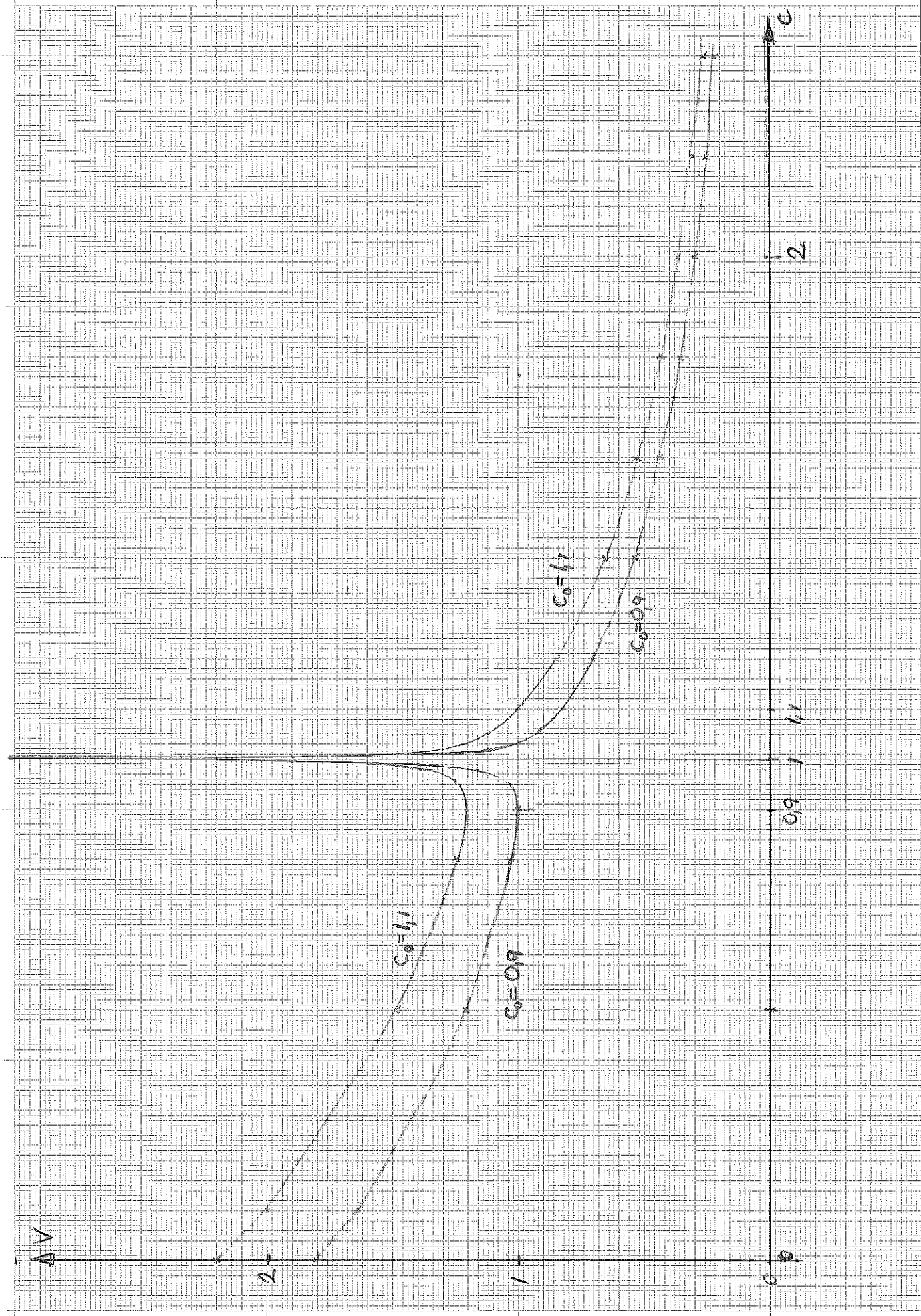
C. $\frac{dV_2}{dc} < 0$ alltid.

Se diagram.

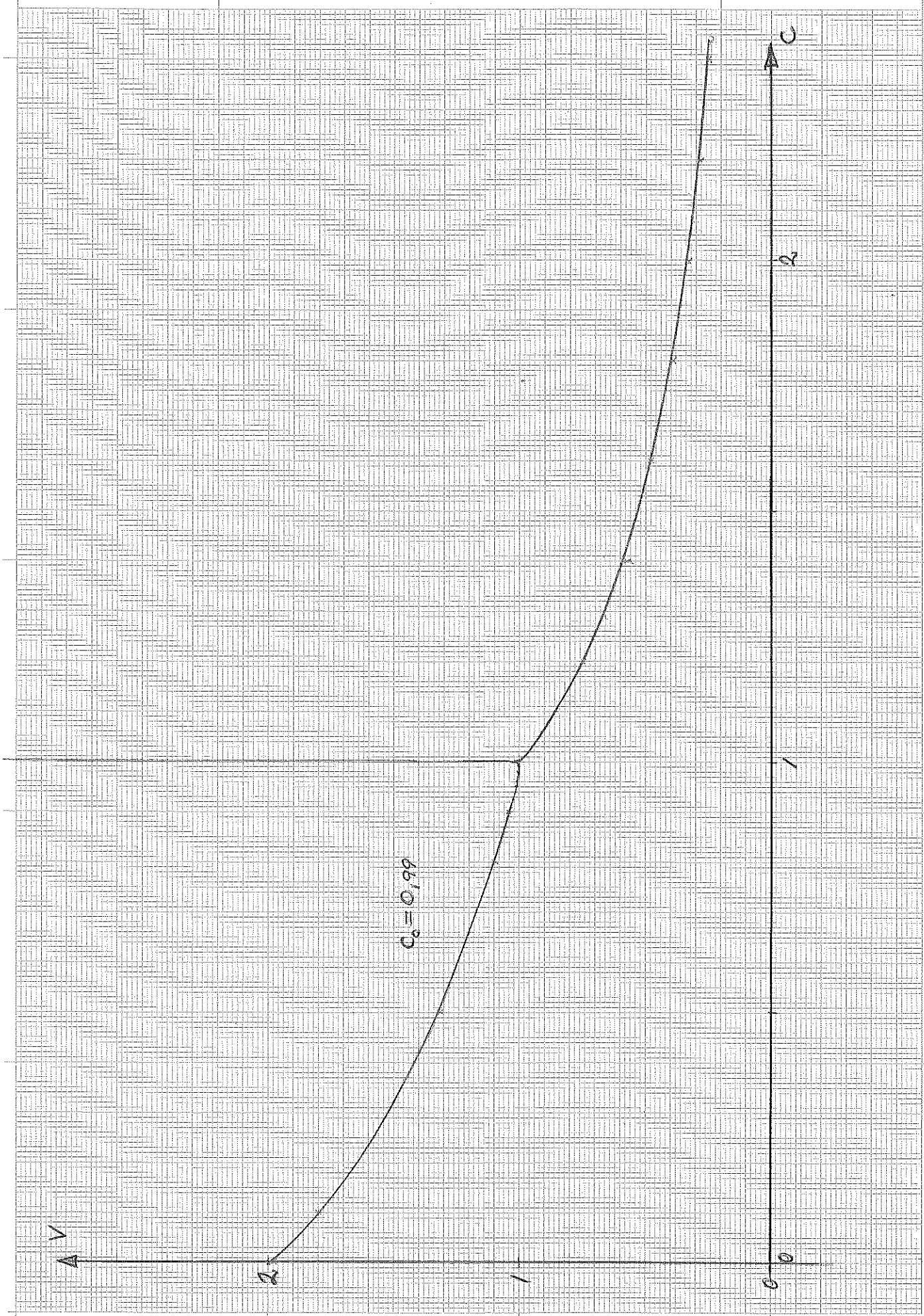
Förlustfunktionens teoretiska
utseende.



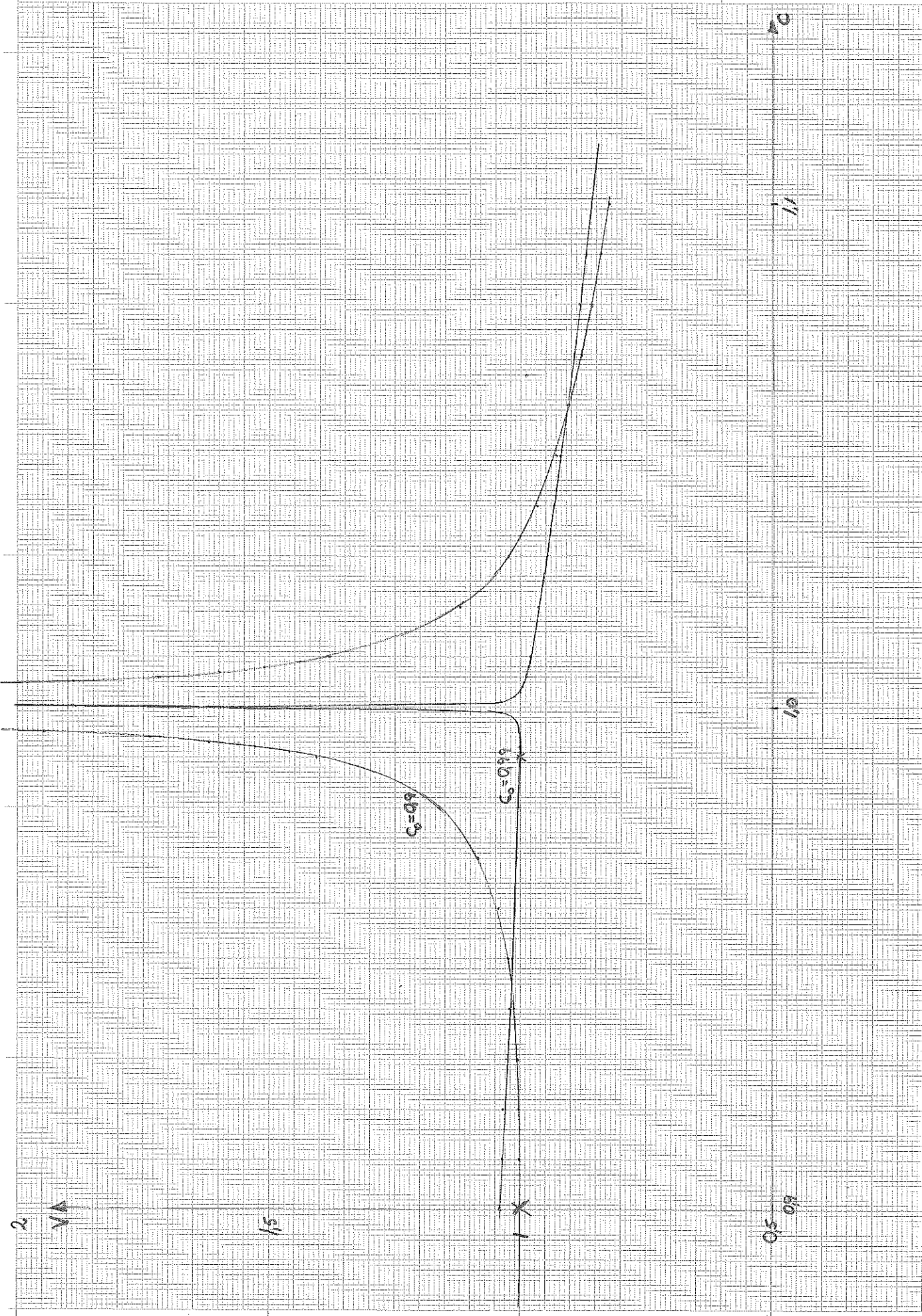
Förlustfunktionens teoretiska
utseende.



Förlustfunktionens teoretiska
utseende.



Förlustfunktionens teoretiska
utseende. Detalj.



Processidentificering med datamaskin

Rättelse i procedur Laban (sid 18)

Erik Bradenius

Ordningsföljden på beräkningarna av $\frac{\partial e(t)}{\partial \theta_i}$ och $\frac{\partial^2 e(t)}{\partial \theta_i \partial \theta_j}$ (EC och ECC) medför att fel uppstår i ECC och därmed i exakta andraderivatmatrisen vid identifiering av läs ordningens system.

Rad 30-38 (sid 18) skall omordnas till följande:

30 $q := 2 \times n + 1$

if $t = 7$ then

begin for $i := 2 \times m$ step -1 until 2 do $ECC[i] := ECC[i-1];$
 $ECC[7] := eac - EC[7];$
 $ECC[q] := ebc - EC[n+7];$
 $ECC[2 \times n + q] := ecc - 2 \times EC[q];$
end;

for $i := m$ step -1 until 2 do $EC(i) := EC(i-1);$
38 $EC[7] := ea + y; EC[n+7] := eb - u; EC[q] := ec - e;$
comment slut ber. av första och andra der. av $e;$

Hela sid 18 återges korrekt på nästa sida.

Denna ändring medför i exempel 2A, 6 exakt o 7 exakt att någon decimal kan vara felaktig.

Samma gäller för de två första skattningarna i exempel 3, alltså 4 exakt och 5 exakt respektive 6 exakt, 7 exakt och 8 exakt. (sid 36).

I övrigt ingen ändring.